

บทที่ 4

ผลการทดลองและวิจารณ์

4.1 การคัดขนาดจีลื้อยไม้ยางพารา

การทดลองจากการคัดขนาดโดยใช้ตะแกรงร่อนเบอร์ 10, 20, 35 และ 48 (มาตรฐานไทเลอร์) และเลือกจีลื้อยที่อยู่บนตะแกรงร่อนเบอร์ 35 นำมาทดสอบกับเครื่องวิเคราะห์ขนาดอนุภาคเพื่อยืนยันผลการกระจายขนาด

จากผลการทดลองการกระจายขนาดอนุภาคที่ลอดผ่านตะแกรงเบอร์ 20 และตกค้างบนตะแกรงเบอร์ 35 จะมีขนาดอนุภาคเฉลี่ย 356 ไมครอน เมื่อเปรียบเทียบกับขนาดอนุภาคที่ได้จากเครื่องวิเคราะห์ขนาดพบว่าขนาดอนุภาคบนฐานพื้นที่ผิวเป็น 393 ไมครอน ในขณะที่การกระจายขนาดในช่วงร้อยละ 50 มีค่าไม่เกิน 488 ไมครอน นั่นคือมีอนุภาคที่เล็กและใหญ่กว่า 488 ไมครอน อยู่อย่างละร้อยละ 50 และในช่วงร้อยละ 90 มีค่าไม่เกิน 827 ไมครอน นั่นคือมีอนุภาคที่เล็กกว่า 827 ไมครอน อยู่ร้อยละ 90 ดังนั้นผลการกระจายขนาดจากการร่อนตะแกรงจึงให้ผลที่สอดคล้องกับเครื่องวิเคราะห์ขนาด

4.2 การวิเคราะห์องค์ประกอบโดยประมาณ

จากการวิเคราะห์องค์ประกอบโดยประมาณตามภาคผนวก ข ของจีลื้อยไม้ยางพารา พบว่าจีลื้อยไม้ยางพาราที่ใช้ในการทดลองมีปริมาณเถ้าร้อยละ 3.01 ปริมาณคาร์บอนคงตัวมีค่าร้อยละ 25.75 ปริมาณสารระเหยร้อยละ 61.66 และความชื้นร้อยละ 9.58 จากการสำรวจเอกสารพบว่า วัตถุดิบที่เหมาะสมสำหรับนำมาเตรียมเป็นถ่านกัมมันต์ให้ได้คุณสมบัติที่ดี ต้องมีปริมาณคาร์บอนคงตัวสูงและปริมาณเถ้าต่ำ ดังนั้นเมื่อเปรียบเทียบกับวัตถุดิบอื่นที่มักนิยมนำมาใช้ผลิตถ่านกัมมันต์ จีลื้อยไม้ยางพาราจึงมีความเหมาะสมในการนำมาใช้เป็นวัตถุดิบตั้งต้น ซึ่งผลการวิเคราะห์องค์ประกอบโดยประมาณของจีลื้อยไม้ยางพาราแสดงในตารางที่ 9

ตารางที่ 9 ผลการวิเคราะห์องค์ประกอบโดยประมาณของขี้เลื่อยไม้ยางพาราและวัตถุดิบชนิดอื่น

วัตถุดิบ	ร้อยละ			
	เถ้า	สารระเหย	คาร์บอนคงตัว	ความชื้น
ขี้เลื่อยไม้ยางพารา ⁽¹⁾ (wet basis)	3.01	61.66	25.75	9.58
ขี้เลื่อยไม้ยางพารา ⁽²⁾ (wet basis)	0.74	69.68	23.38	6.2
ขี้เลื่อยไม้ยางพารา ⁽³⁾ (wet basis)	4.95	62.95	24.15	7.95
กะลาปาล์ม ⁽⁴⁾ (wet basis)	2.2	69.87	16.06	11.87
กะลาตาลโตนด ⁽⁵⁾ (dry basis)	1.9	80.1	18	-
แกลบ ⁽⁶⁾ (dry basis)	20	62.6	17.4	-
ฟางข้าว ⁽⁷⁾ (dry basis)	7.3	74.4	18.3	-
เปลือกเมล็ดมะม่วงหิมพานต์ ⁽⁸⁾ (dry basis)	1.9	92.45	5.65	-

ที่มา: ⁽¹⁾ จากงานทดลองในงานวิจัย

⁽²⁾ C. Srinivasakannan และ Mohamad Zailani Abu Bakar (2004)

⁽³⁾ B.G. Prakash Kumar *et al* (2006)

⁽⁴⁾ ภัทรา ปัญญวัฒน์กิจ (2540)

⁽⁵⁾ บุญชัย ตระกูลมหชัย (2537)

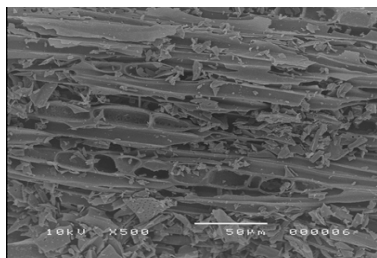
^(6,7) จินดาพร จำรัสเลิศลักษณ์ และคณะ (2549)

⁽⁸⁾ ชิตวรณ นาคฤทธิ์ (2544)

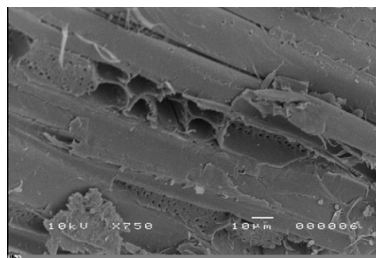
4.3 ลักษณะโครงสร้างพื้นผิว

ลักษณะพื้นผิวของขี้เลื่อยไม้ยางพาราและถ่านกัมมันต์จากไม้ยางพารา แสดงในภาพประกอบที่ 12 ถึง 14 ซึ่งได้จากการถ่ายด้วยกล้องจุลทรรศน์อิเล็กตรอนที่กำลังขยาย 500 เท่าและ 1000 เท่า พบว่าโครงสร้างพื้นผิวของขี้เลื่อยไม้ยางพาราลังการกระตุ้นด้วยกรดฟอสฟอริกและไอน้ำเปลี่ยนไปจากเดิมมาก โดยพบว่าโครงสร้างมีพื้นที่ผิวเป็นรูพรุนมากขึ้น เนื่องจากหลังจากการกระตุ้น ทั้งกรดฟอสฟอริกและไอน้ำเข้าไปจัดเก็บและสารระเหยต่างๆที่อยู่ในรูพรุนของขี้เลื่อยออกจากรูพรุนของขี้เลื่อย จึงส่งผลให้ถ่านที่ได้มีรูพรุนเพิ่มขึ้นจากเดิม ภาพถ่ายที่ได้จึงสังเกตเห็นลักษณะของรู

พรุณ ได้ชัดเจนขึ้น และเมื่อพิจารณาโครงสร้างของรูพรุณที่ได้จากการกระตุ้นด้วยกรดเปรียบเทียบกับ การกระตุ้นด้วยไอน้ำ พบว่าขนาดของรูพรุณที่ได้จากการกระตุ้นด้วยไอน้ำเล็กกว่ารูพรุณที่ได้จากการกระตุ้นด้วยกรดเล็กน้อย

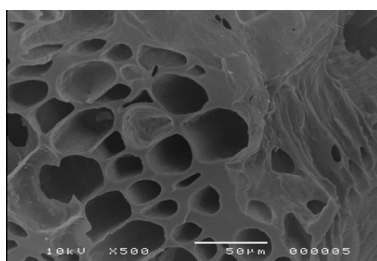


(a)

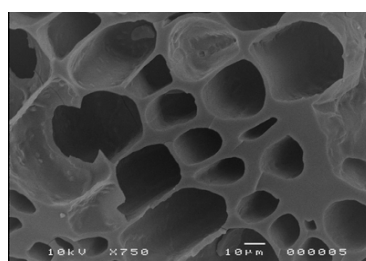


(b)

ภาพประกอบที่ 12 แสดงลักษณะ โครงสร้างพื้นผิวของจีลีโอซีไม์ยางพาราโดยใช้เทคนิค SEM (Scanning Electron Microscope) ที่กำลังขยาย (a) 500 เท่า และ (b) 750 เท่า

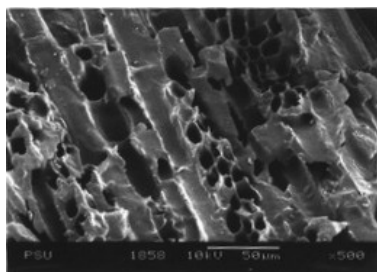


(a)

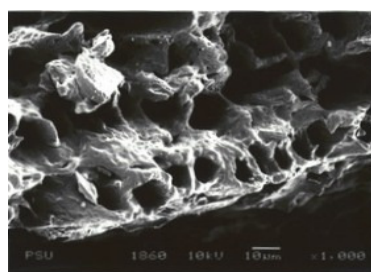


(b)

ภาพประกอบที่ 13 แสดงลักษณะ โครงสร้างพื้นผิวของถ่านกัมมันต์จากจีลีโอซีไม์ยางพาราที่ กระตุ้นด้วยกรดฟอสฟอริกโดยใช้เทคนิค SEM (Scanning Electron Microscope) ที่กำลังขยาย (a) 500 เท่า และ (b) 750 เท่า



(a)



(b)

ภาพประกอบที่ 14 แสดงลักษณะ โครงสร้างพื้นผิวของถ่านกัมมันต์จากจีลีโอซีไม์ยางพาราที่ กระตุ้นด้วยไอน้ำโดยใช้เทคนิค SEM (Scanning Electron Microscope) ที่ กำลังขยาย (a) 500 เท่า และ (b) 1000 เท่า

4.4 ปัจจัยที่มีผลต่อคุณภาพถ่านกัมมันต์ที่กระตุ้นด้วยกรดฟอสฟอริก

จากผลการทดลองในการศึกษาปัจจัยของ อัตราส่วนที่ละลายต่อกรดในช่วง 1:1-1:2 อุณหภูมิในการเผา 500-700 องศาเซลเซียส และเวลาในการเผา 45-90 นาที ต่อคุณสมบัติของ ถ่านกัมมันต์แสดงดังตารางที่ 10

ตารางที่ 10 แสดงคุณสมบัติของถ่านกัมมันต์ที่ได้จากการกระตุ้นด้วยกรดฟอสฟอริก

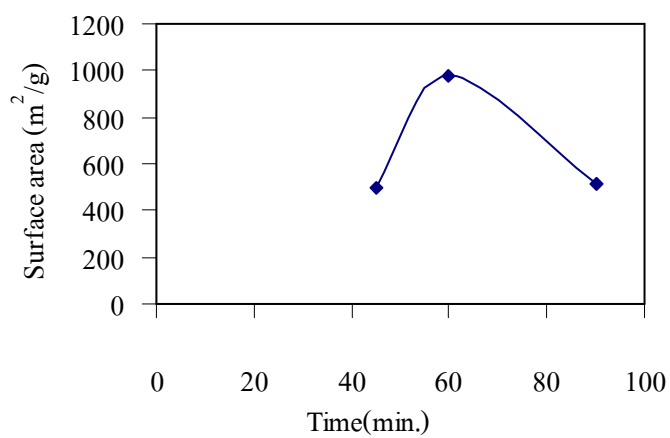
Conditions			Properties				
Ratio	Temp. (°C)	Time (min.)	Surface area (m ² /g)	Bulk Density (g/cm ³)	Iodine		
					Ads. (mg/g)	pH	% yield
Experiment I							
1:2	500	45	498.73	0.29217	231.81	3.101	49.03
1:2	500	60	981.05	0.28467	349.79	3.004	48.54
1:2	500	90	513.20	0.27827	215.03	2.985	44.81
Experiment II							
1:2	400	60	417.24	0.34473	267.51	2.847	54.68
1:2	500	60	1009.61	0.28355	334.66	3.044	47.66
1:2	600	60	1045.17	0.2798	363.74	3.207	46.80
1:2	700	60	323.45	0.27977	192.96	3.019	46.89
Experiment III							
1:1	500	60	500.08	0.30753	194.27	3.326	55.62
1:2	500	60	997.12	0.2799	341.04	2.863	48.81
1:3	500	60	490.41	0.25554	246.04	2.595	47.07

4.4.1 ผลของเวลา

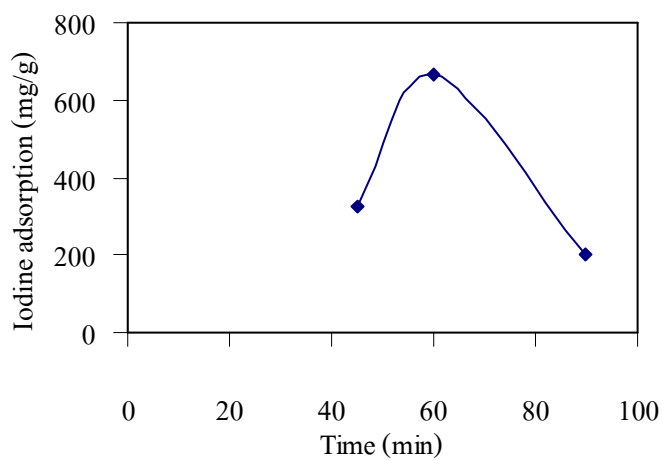
จากการศึกษาผลของเวลาต่อคุณสมบัติของถ่านกัมมันต์ที่ได้จากการกระตุ้นด้วยกรดฟอสฟอริก เมื่ออุณหภูมิคงที่ 500 องศาเซลเซียส อัตราส่วนจีลีสต่อกรดคงที่เป็น 1:2 พบว่าเวลามีผลต่อคุณสมบัติของถ่านกัมมันต์ จากข้อมูลในตารางที่ 10 พบว่าเมื่อเวลาในการกระตุ้นเพิ่มขึ้น ค่าพื้นที่ผิวของถ่านกัมมันต์เพิ่มขึ้นโดยค่าพื้นที่ผิวมีค่าเพิ่มขึ้นจาก 498.73 m²/g ที่เวลาในการเผา 45 นาที เป็น 981.05 m²/g ที่เวลาในการเผา 60 นาที หลังจากนั้นค่าพื้นที่ผิวจะลดลงเป็น 513.20 m²/g ที่เวลาในการเผา 90 นาที ดังแสดงในภาพประกอบที่ 15 แสดงให้เห็นว่าถ่านกัมมันต์มีโครงสร้างที่เป็นรูพรุนเพิ่มขึ้นเมื่อใช้เวลาในการกระตุ้นเพิ่มขึ้น แต่จะเพิ่มขึ้นจนได้ค่าสูงสุดที่เวลาค่าหนึ่ง หลังจากนั้นการเพิ่มของเวลาจะไม่มีผลต่อคุณสมบัติต่างๆของถ่านกัมมันต์อีก เนื่องจากถ่านถูกออกซิไดซ์เป็นเวลานานผนังของรูพรุนจะเกิดการยุบตัว ทำให้โครงสร้างของรูพรุนเปลี่ยนไปจึงเกิดการดูดซับสารได้น้อยลง สังเกตได้จากค่าการดูดซับไอโอดีนดังแสดงกราฟในภาพประกอบที่ 16 ถ่านกัมมันต์จะดูดซับไอโอดีนได้มากขึ้นเมื่อเวลาในการเผาเพิ่มขึ้น โดยค่าการดูดซับไอโอดีนมีค่าเพิ่มขึ้นจาก 231.81 mg/g ที่เวลาในการเผา 45 นาที เป็น 349.79 mg/g ที่เวลาในการเผา 60 นาที หลังจากนั้นค่าการดูดซับจะลดลงเป็น 215.03 mg/g ที่เวลาในการเผา 90 นาที

สำหรับความหนาแน่นปรากฏและค่าร้อยละผลได้ที่เวลาในการเผาต่างๆแสดงดังภาพประกอบที่ 17 และ 18 พบว่ามีแนวโน้มลดลงเมื่อเวลาในการกระตุ้นเพิ่มขึ้น ทั้งนี้เป็นเพราะเวลาที่เพิ่มขึ้นทำให้โครงสร้างและมวลของไม้มีการเปลี่ยนแปลง โดยมวลของไม้จะลดลง ส่งผลให้ค่าความหนาแน่นและค่าร้อยละผลได้ลดลง ในส่วนของค่าความเป็นกรดค้างของถ่านกัมมันต์ ดังภาพประกอบที่ 19 จะมีค่าลดลงเมื่อเวลาในการกระตุ้นเพิ่มขึ้น

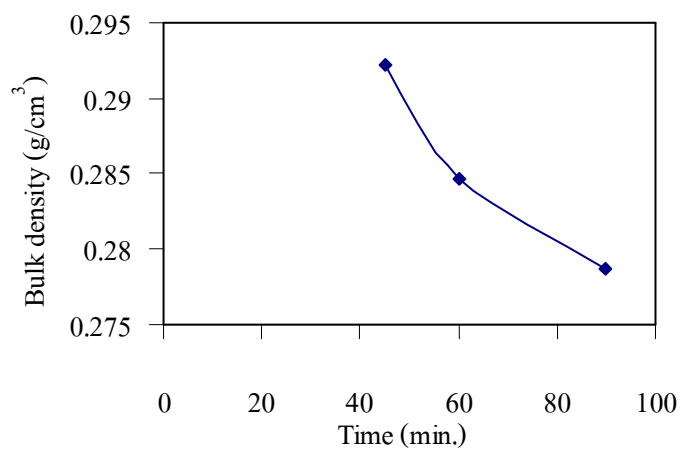
ดังนั้นจึงเลือกช่วงเวลาในการกระตุ้นที่ 45 – 90 นาที เพื่อใช้ในการทดลองร่วมกับเทคนิค RSM



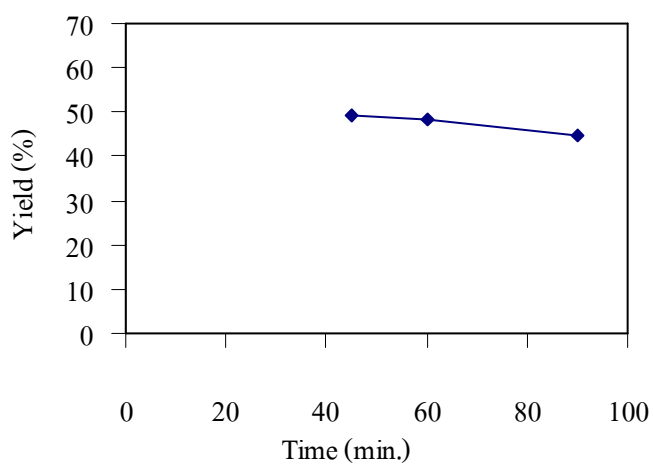
ภาพประกอบที่ 15 แสดงผลของเวลาต่อค่าพื้นที่ผิวของถ่านกัมมันต์ เมื่ออัตราส่วนจีลีส:กรด และอุณหภูมิคงที่ที่ 1:2 และ 500 °C ตามลำดับ



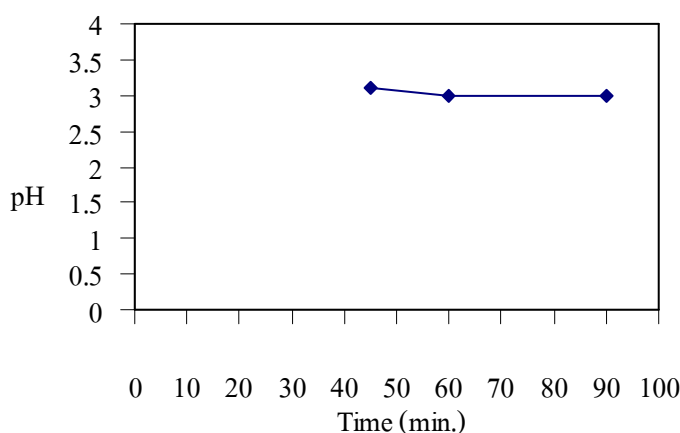
ภาพประกอบที่ 16 แสดงผลของเวลาต่อการดูดซับไอโอดีนของถ่านกัมมันต์ เมื่ออัตราส่วนจีลีส:กรดและอุณหภูมิคงที่ที่ 1:2 และ 500 °C ตามลำดับ



ภาพประกอบที่ 17 แสดงผลของเวลาต่อค่าความหนาแน่นปรากฏของถ่านกัมมันต์ เมื่ออัตราส่วนขี้เถ้า: กรดและอุณหภูมิคงที่ที่ 1:2 และ 500 °C ตามลำดับ



ภาพประกอบที่ 18 แสดงผลของเวลาต่อค่าร้อยละผลได้ของถ่านกัมมันต์ เมื่ออัตราส่วนขี้เถ้า: กรดและอุณหภูมิคงที่ที่ 1:2 และ 500 °C ตามลำดับ

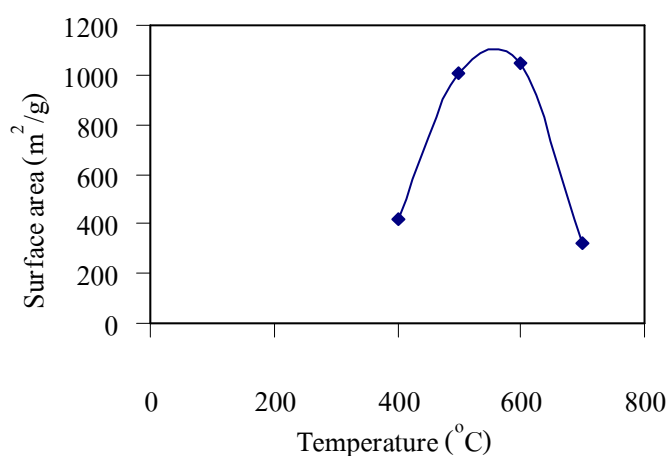


ภาพประกอบที่ 19 แสดงผลของเวลาต่อค่าความเป็นกรดต่างของถ่านกัมมันต์ เมื่ออัตราส่วน
ขี้เลื่อย:กรดและอุณหภูมิคงที่ที่ 1:2 และ 500 °C ตามลำดับ

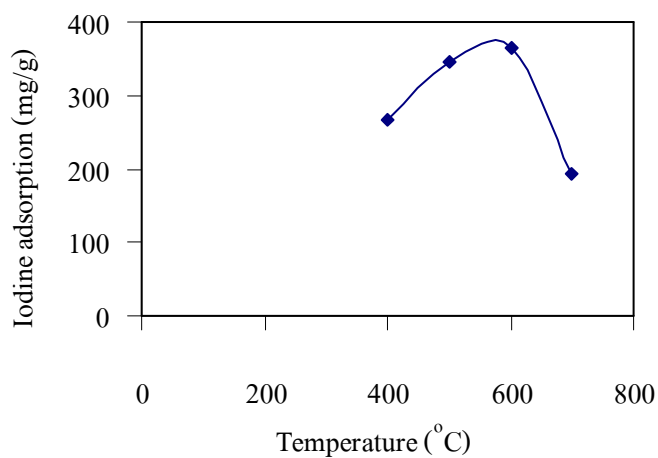
4.4.2 ผลของอุณหภูมิ

จากการศึกษาผลของอุณหภูมิต่อคุณสมบัติของถ่านกัมมันต์ที่ได้จากการกระตุ้นด้วยกรดฟอสฟอริก เมื่อเวลาคงที่ 60 นาที อัตราส่วนขี้เลื่อยต่อกรดเป็น 1:2 พบว่าอุณหภูมิมิมีผลต่อคุณสมบัติของถ่านกัมมันต์ที่ได้จากการกระตุ้นด้วยกรดฟอสฟอริก เมื่อใช้อุณหภูมิในการกระตุ้นสูงขึ้น ค่าพื้นที่ผิวของถ่านกัมมันต์เพิ่มขึ้น โดยค่าพื้นที่ผิวมีค่าเพิ่มขึ้นจาก 417.24 m²/g ที่อุณหภูมิ 400 องศาเซลเซียส เป็น 1045.17 m²/g ที่อุณหภูมิ 600 องศาเซลเซียส ซึ่งเป็นจุดที่ให้ค่าพื้นที่ผิวสูงที่สุด ซึ่งในทำนองเดียวกันค่าการดูดซับไอโอดีนก็มีแนวโน้มในแบบเดียวกัน นั่นคือถ่านกัมมันต์จะดูดซับไอโอดีนได้มากขึ้น โดยเพิ่มจาก 267.51 mg/g ที่อุณหภูมิ 400 องศาเซลเซียส เป็น 363.74 mg/g ที่อุณหภูมิ 600 องศาเซลเซียส ซึ่งให้ค่าการดูดซับสูงสุด หลังจากนั้นการเพิ่มอุณหภูมิสูงจากจุดนี้จะไม่มีผลต่อการดูดซับที่สูงขึ้นของถ่านกัมมันต์ เนื่องจากเมื่ออุณหภูมิสูงขึ้นความสามารถในการไล่น้ำมันทาร์กับสารระเหยต่างๆ ออกจากผิวถ่านเกิดได้ดี แต่ถ้าเพิ่มอุณหภูมิมากกว่านี้ จะเกิดการออกซิไดซ์ที่บริเวณผิวถ่านจึงไม่เกิดโครงสร้างที่เป็นรูพรุน ถ่านกัมมันต์ที่เผาที่อุณหภูมิสูงมากจึงมีพื้นที่ผิวน้อยลงส่งผลให้ดูดซับสารได้น้อยลง ผลของอุณหภูมิต่อคุณสมบัติต่างๆ แสดงดังภาพประกอบที่ 20 และ 21

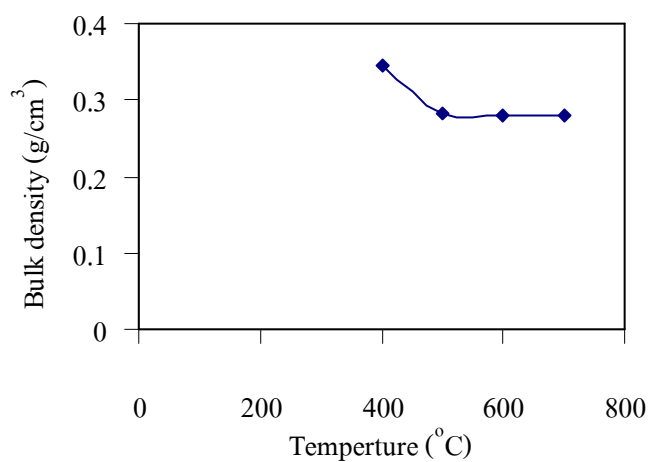
สำหรับภาพประกอบที่ 22 และ 23 แสดงผลของอุณหภูมิต่อค่าความหนาแน่นปรากฏ และร้อยละผลได้ของถ่านกัมมันต์ ตามลำดับ ผลว่าเมื่ออุณหภูมิเพิ่มขึ้นค่าความหนาแน่นปรากฏและค่าร้อยละผลได้จะลดลง โดยจะลดลงอย่างเห็นได้ชัดในช่วงแรก หลังจากนั้นจะมีการเปลี่ยนแปลงน้อยมาก สำหรับค่าความเป็นกรดต่างจะมีค่าเพิ่มขึ้นเมื่ออุณหภูมิเพิ่มขึ้น แสดงดังภาพประกอบที่ 24 ดังนั้นอุณหภูมิ 400-700 องศาเซลเซียส จึงเป็นช่วงที่เลือกเพื่อศึกษาร่วมกับ RSM



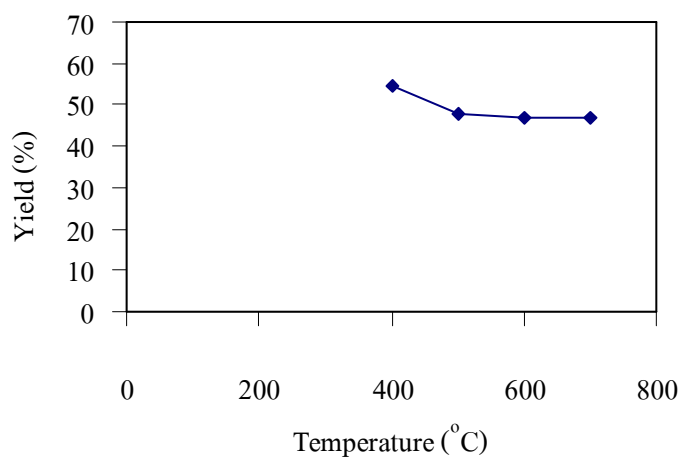
ภาพประกอบที่ 20 แสดงผลของอุณหภูมิต่อค่าพื้นที่ผิวของถ่านกัมมันต์ เมื่ออัตราส่วนนี้เฉลี่ย:กรด และเวลาครั้งที่ 1:2 และ 60 นาที ตามลำดับ



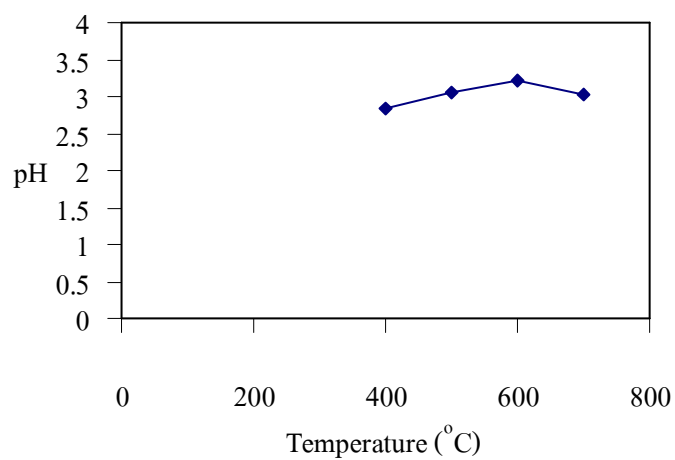
ภาพประกอบที่ 21 แสดงผลของอุณหภูมิต่อการดูดซับไอโอดีนของถ่านกัมมันต์ เมื่ออัตราส่วนขี้เลื่อย:กรดและเวลาคงที่ที่ 1:2 และ 60 นาที ตามลำดับ



ภาพประกอบที่ 22 แสดงผลของอุณหภูมิต่อค่าความหนาแน่นปรากฏของถ่านกัมมันต์ เมื่ออัตราส่วนขี้เลื่อย:กรดและเวลาคงที่ที่ 1:2 และ 60 นาที ตามลำดับ



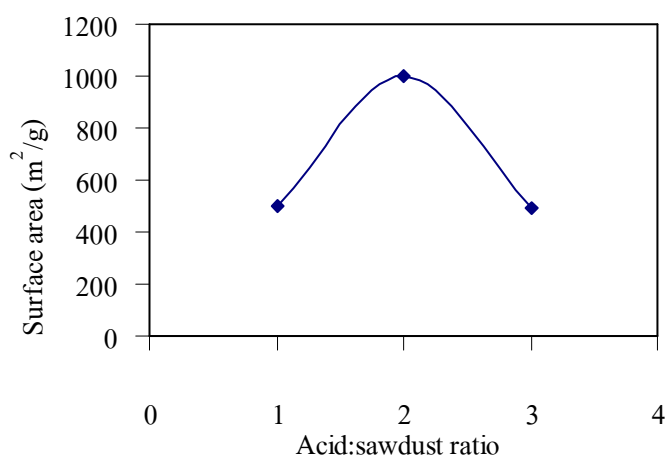
ภาพประกอบที่ 23 แสดงผลของอุณหภูมิต่อร้อยละผลได้ของถ่านกัมมันต์ เมื่ออัตราส่วนขี้เลื่อย: กรดและเวลาคงที่ที่ 1:2 และ 60 นาที ตามลำดับ



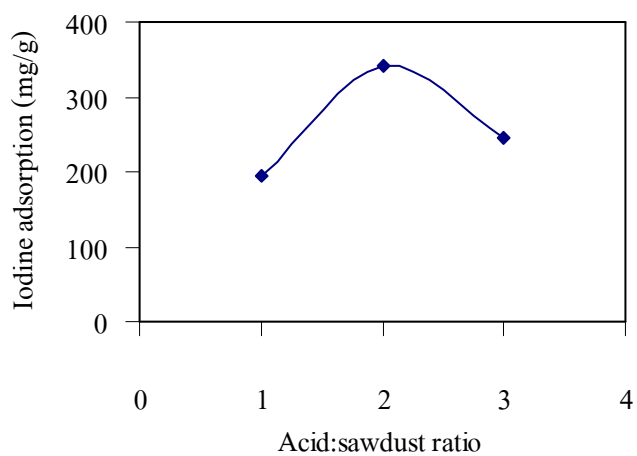
ภาพประกอบที่ 24 แสดงผลของอุณหภูมิต่อความเป็นกรดค้างของถ่านกัมมันต์เมื่ออัตราส่วน ขี้เลื่อย:กรดและเวลาคงที่ที่ 1:2 และ 60 นาที ตามลำดับ

4.4.3 ผลของอัตราส่วนขี้เลื่อยต่อกรด

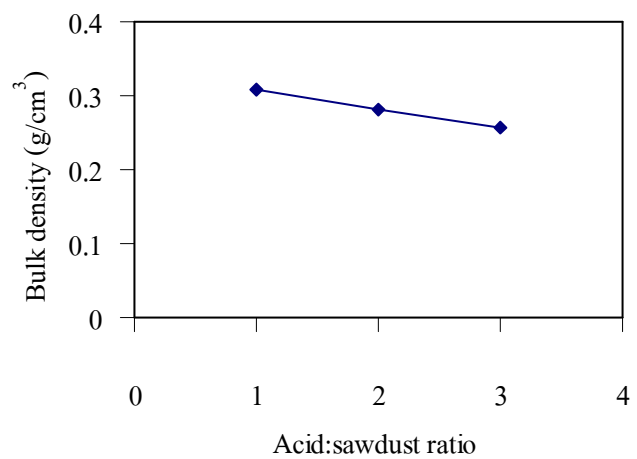
จากตารางที่ 10 แสดงผลของอัตราส่วนขี้เลื่อยต่อกรดมีผลต่อคุณสมบัติของ ถ่านกัมมันต์เมื่อพิจารณาค่าพื้นที่ผิว เมื่อเวลาคงที่ 60 นาที อุณหภูมิ 500 องศาเซลเซียส พบว่าเมื่อ อัตราส่วนขี้เลื่อยต่อกรดเพิ่มขึ้นค่าพื้นที่ผิวของถ่านกัมมันต์จะเพิ่มขึ้น โดยเพิ่มจาก 500.08 m^2/g ที่ อัตราส่วนขี้เลื่อยต่อกรดเป็น 1:1 เป็น 997.12 m^2/g ดังภาพประกอบที่ 25 ที่อัตราส่วนขี้เลื่อยต่อกรด 1:2 ซึ่งเป็นอัตราส่วนที่ให้ค่าพื้นที่ผิวสูงสุด และเมื่อพิจารณาค่าการดูดซับไอโอดีนของถ่านกัมมันต์ พบว่ามีแนวโน้มเพิ่มขึ้นเมื่ออัตราส่วนขี้เลื่อย:กรดสูงขึ้นเช่นกัน โดยเพิ่มจาก 194.27 mg/g ที่ อัตราส่วนขี้เลื่อยต่อกรดเป็น 1:1 เป็น 341.04 mg/g ดังภาพประกอบที่ 26 ที่อัตราส่วนขี้เลื่อยต่อกรด 1:2 ซึ่งเป็นอัตราส่วนที่ให้ค่าการดูดซับสูงสุด ทั้งนี้เนื่องจากที่อัตราส่วนขี้เลื่อยต่อกรदन้อย ทำให้กรด ไม่สามารถแทรกซึมได้ทั่วถึง ความสามารถในการไล่น้ำมันกับสารระเหยต่างๆ ออกจากผิวถ่านจึงเกิดได้ ไม่ดี ส่งผลให้โครงสร้างที่เป็นรูพรุนของถ่านมีน้อย ทำให้ค่าการดูดซับที่ได้มีค่าต่ำ และพบว่าปริมาณ กรดที่มากเกินไปไม่ได้ทำให้พื้นที่ผิวเพิ่มขึ้น เนื่องจากกรดส่งผลต่อการสูญเสียของคาร์บอนที่เป็น คาร์บอนเป็นผลให้ค่าความหนาแน่นปรากฏและค่าร้อยละผลได้ของถ่านกัมมันต์ลดลงไปด้วย ดัง ภาพประกอบที่ 27 และ 28 เมื่อพิจารณาค่าความเป็นกรดค้างของถ่านกัมมันต์ พบว่าเมื่ออัตราส่วน กรดเพิ่มขึ้น ค่าความเป็นกรดของถ่านเพิ่มขึ้นเนื่องจากปริมาณกรดที่มากเกินไปแทรกซึมเข้าไปใน เนื้อของถ่านกัมมันต์ ดังภาพประกอบที่ 29 ดังนั้นจึงเลือกอัตราส่วนในช่วง 1:1-1:2 เพื่อศึกษา กับ RSM เพราะอัตราส่วนที่สูงกว่านี้ไม่มีผลต่อคุณสมบัติที่ดีของถ่านกัมมันต์ อีกทั้งยังเป็นการ ลื่นเปลื้องสารเคมี



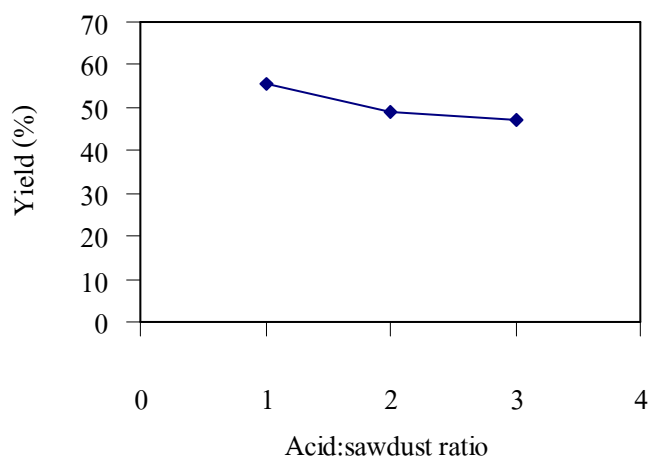
ภาพประกอบที่ 25 แสดงผลของอัตราส่วนกรดต่อขี้เลื่อยต่อค่าพื้นที่ผิวของถ่านกัมมันต์ เมื่อ อุณหภูมิและเวลาในการเผาครั้งที่ 500 °C 60 นาที ตามลำดับ



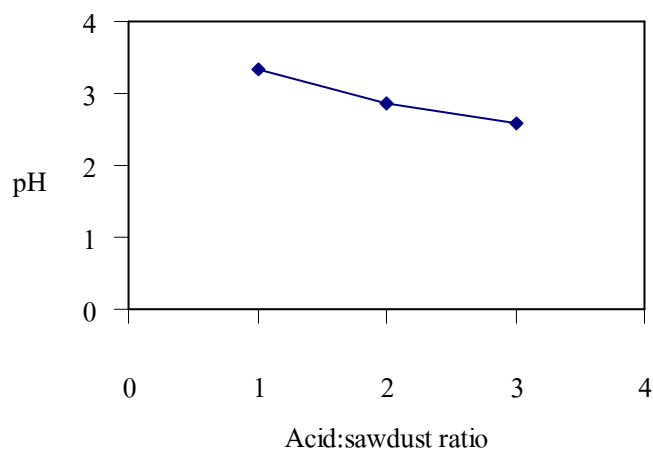
ภาพประกอบที่ 26 แสดงผลของอัตราส่วนกรดต่อซีลี้อยต่อค่าการดูดซับไอโอดีนของถ่านกัมมันต์เมื่ออุณหภูมิและเวลาในการเผาองที่ 500 °C 60 นาที ตามลำดับ



ภาพประกอบที่ 27 แสดงผลของอัตราส่วนกรดต่อซีลี้อยต่อค่าความหนาแน่นปรากฏของถ่านกัมมันต์เมื่ออุณหภูมิและเวลาในการเผาองที่ 500 °C 60 นาที ตามลำดับ



ภาพประกอบที่ 28 แสดงผลของอัตราส่วนกรดต่อขี้เลื่อยต่อร้อยละผลได้ของถ่านกัมมันต์เมื่ออุณหภูมิและเวลาในการเผาที่ 500 °C 60 นาที ตามลำดับ



ภาพประกอบที่ 29 แสดงผลอัตราส่วนกรดต่อขี้เลื่อยต่อความเป็นกรดต่างของถ่านกัมมันต์เมื่ออุณหภูมิและเวลาในการเผาที่ 500 °C 60 นาที ตามลำดับ

4.5 สถานะที่เหมาะสมในการผลิตถ่านกัมมันต์จากการกระตุ้นด้วยกรดฟอสฟอริก

จากการออกแบบสถานะการทดลองโดยใช้โปรแกรม RSM ที่กำหนดตัวแปรต้น 3 ตัวแปร คือ อัตราส่วนขี้เถ้า:กรด อุณหภูมิในการเผา และเวลาในการเผา และตัวแปรตาม 3 ตัวแปร คือ ร้อยละผลได้ ค่าพื้นที่ผิว และค่าการดูดซับไอโอดีน ได้ผลการทดลองดังแสดงในตารางที่ 11

ตารางที่ 11 แสดงสถานะการทดลองที่มีผลต่อร้อยละผลได้ พื้นที่ผิว และการดูดซับไอโอดีน

สถานะที่	ร้อยละผลได้ (%)	ค่าพื้นที่ผิว (m ² /g)	ค่าการดูดซับไอโอดีน (mg/g)
1	58.41	402.29	73.79
2	72.11	51.89	520.44
3	53.29	361.95	254.32
4	54.76	1115.37	344.27
5	59.75	431.73	283.67
6	52.34	785.13	393.64
7	79.78	306.19	461.81
8	67.52	301.45	257.69
9	47.5	974.58	553.16
10	55.78	1084.44	474.6
11	50.95	867.54	375.63
12	49.97	1280.72	619.41
13	52.29	1331.82	580.32
14	58.65	665.65	379.4
15	43.16	891.48	328.11
16	66.36	939.84	314.95
17	54.97	1225.56	535.56
18	50.76	475.46	216.41

4.6 แบบจำลองอธิบายผลของสภาวะดำเนินการในการกระตุ้นด้วยกรดฟอสฟอริก

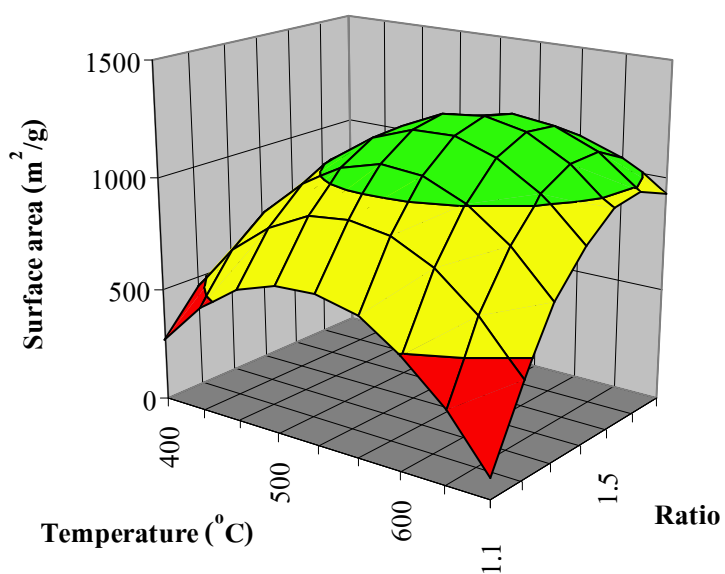
4.6.1 แบบจำลองอธิบายสภาวะการทดลองที่มีผลต่อพื้นที่ผิว

จากข้อมูลค่าพื้นที่ผิวของถ่านกัมมันต์ที่ได้จากการทดลอง สามารถนำมาสร้างแบบจำลองทางคณิตศาสตร์ได้โดยใช้โปรแกรม Essential regression ซึ่งสามารถอธิบายความสัมพันธ์ของตัวแปรในการทดลองที่มีผลต่อค่าพื้นที่ผิวของถ่านกัมมันต์ได้ ดังแสดงในสมการที่ 15

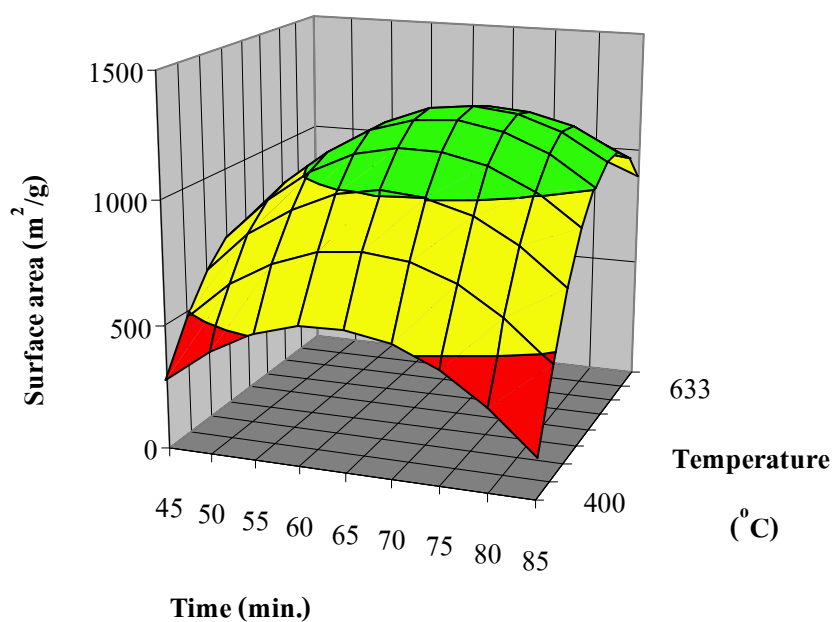
$$y = -10630.5 + 6542.7x_1 + 24.69x_2 - 3582.1x_1^2 + 63.15x_1x_3 - 0.02237x_2^2 - 0.674x_3^2 \quad (15)$$

กำหนดให้	y	= ค่าพื้นที่ผิว (m ² /g)
	x ₁	= อัตราส่วนขี้เลื่อย:กรด
	x ₂	= อุณหภูมิในการเผา (องศาเซลเซียส)
	x ₃	= เวลาในการเผา (นาที)

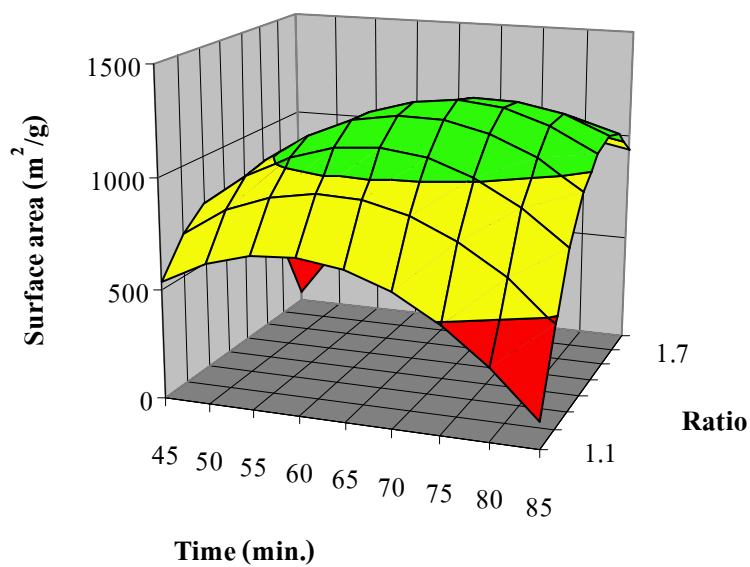
จากสมการที่ 15 แสดงให้เห็นถึงตัวแปรที่มีผลต่อค่าพื้นที่ผิวของถ่านกัมมันต์ ซึ่งเมื่อพิจารณาค่า P value ที่ได้จากแบบจำลองในแต่ละเทอมเพื่อดูถึงความเหมาะสมของแบบจำลองที่ได้ โดยเทอมที่มีผลต่อค่าพื้นที่ผิวของถ่านอย่างมีนัยสำคัญจะให้ P value ที่ต่ำกว่า 0.05 และจะมีผลต่อค่าพื้นที่ผิวอย่างมีนัยสำคัญมากขึ้นถ้า P value มีค่าต่ำมากๆ ซึ่งจากแบบจำลองเทอมที่มีผลต่อค่าพื้นที่ผิวของถ่านกัมมันต์มากที่สุดคือ อัตราส่วนขี้เลื่อย:กรด ซึ่งมี P value = 4.65×10^{-5} ดังแสดงในภาคผนวก ง โดยแบบจำลองที่ได้มีค่า R² และ R² adjusted เท่ากับ 0.879 และ 0.807 ตามลำดับ ซึ่งค่า R² จะบอกถึงความน่าเชื่อถือของแบบจำลองที่ได้ หากค่า R² adjusted มีค่าใกล้เคียงกับค่า R² แสดงว่าแต่ละเทอมในแบบจำลองที่ได้มีผลอย่างมีนัยสำคัญต่อค่าพื้นที่ผิวของถ่านกัมมันต์ จากข้อมูลของแบบจำลองที่ได้สามารถแสดงความสัมพันธ์ของตัวแปรต่างๆกับค่าพื้นที่ผิวของถ่านกัมมันต์ ในรูปของกราฟพื้นที่ผิว (surface plot) ดังภาพประกอบที่ 30 ถึง 32



ภาพประกอบที่ 30 กราฟพื้นผิวแสดงความสัมพันธ์ระหว่างอุณหภูมิในการเผาและอัตราส่วน
ซีลีอีย:กรด (บนฐานของซีลีอีย 1 ส่วน) ที่มีผลต่อพื้นที่ผิวของถ่านกัมมันต์



ภาพประกอบที่ 31 กราฟพื้นผิวแสดงความสัมพันธ์ระหว่างอุณหภูมิในการเผา และเวลาในการเผา
ที่มีผลต่อพื้นที่ผิวของถ่านกัมมันต์



ภาพประกอบที่ 32 กราฟพื้นผิวแสดงความสัมพันธ์ระหว่างเวลาในการเผาและอัตราส่วนซีลี้อย:
กรด (บนฐานของซีลี้อย 1 ส่วน) ที่มีผลต่อพื้นที่ผิวถ่านกัมมันต์

เมื่อคำนวณค่าพื้นที่ผิวของถ่านกัมมันต์จากแบบจำลองในสมการที่ 15
เปรียบเทียบกับข้อมูลที่ได้จากการทดลอง พบว่าค่าส่วนใหญ่ใกล้เคียงกัน แสดงดังตารางที่ 12

ตารางที่ 12 แสดงค่าพื้นที่ผิวของถ่านกัมมันต์ที่ได้จากการทดลองเปรียบเทียบกับค่าที่ได้จากการคำนวณโดยใช้แบบจำลอง

สถานะที่	ค่าพื้นที่ผิวที่ได้จากการทดลอง (m^2/g)	ค่าพื้นที่ผิวที่ได้จากแบบจำลอง(m^2/g)
1	402.29	833.05
2	51.89	715.16
3	361.95	410.44
4	1115.37	1002.05
5	431.73	395.04
6	785.13	769.08
7	306.19	420.53
8	301.45	406.33
9	974.58	967.72
10	1084.44	1260.46
11	876.54	833.13
12	1280.72	1260.46
13	1331.82	1260.46
14	665.65	818.85
15	891.48	745.16
16	939.84	690.93
17	1255.56	1260.46
18	475.46	1002.31

เมื่อนำแบบจำลองในสมการที่ 15 ไปหาสถานะการดำเนินการที่เหมาะสมเพื่อให้ได้ค่าพื้นที่ผิวสูงสุด พบว่า สถานะที่เหมาะสมซึ่งให้ค่าพื้นที่ผิว $1271.19 m^2/g$ คืออัตราส่วนจี้อยู่ต่อกรดเป็น 1:1.6 อุณหภูมิในการเผาที่ 552 องศาเซลเซียส เวลา 73 นาที จากการทดลองพบว่าสถานะที่ให้ค่าพื้นที่ผิวดีที่สุดคือสถานะที่อัตราส่วนจี้อยู่ต่อกรด 1:1.5 อุณหภูมิในการเผาที่ 550 องศาเซลเซียส เวลา 68 นาที พบว่าสถานะที่ดีที่สุดที่ได้โดยใช้แบบจำลองมีความสอดคล้องกับผลการทดลอง ดังนั้นแบบจำลองที่ได้จึงมีความน่าเชื่อถือ

4.6.2 แบบจำลองอธิบายสถานะการทดลองที่มีผลต่อค่าการดูดซับไอโอดีน

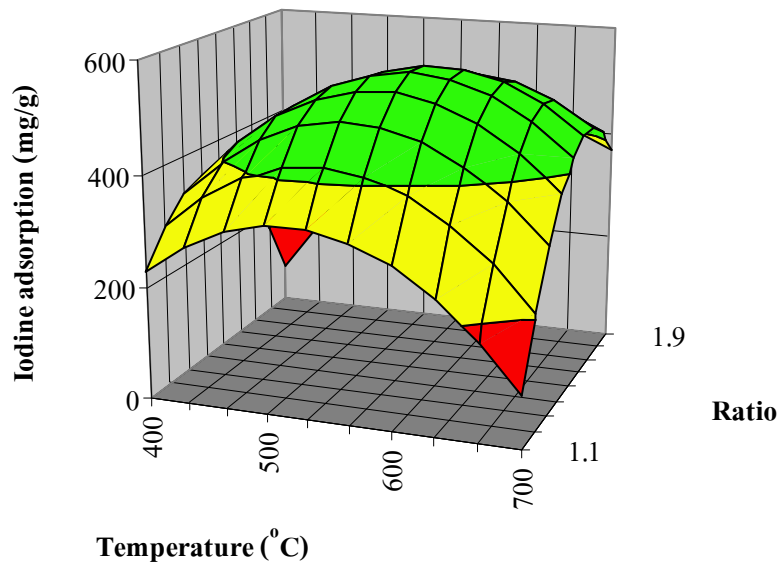
จากข้อมูลค่าการดูดซับ ไอโอดีนของถ่านกัมมันต์ที่ได้จากการทดลอง สามารถนำมาสร้างแบบจำลองทางคณิตศาสตร์ ซึ่งสามารถอธิบายความสัมพันธ์ของตัวแปรในการทดลอง ที่มีผลต่อค่าการดูดซับ ไอโอดีนของถ่านกัมมันต์ได้ แบบจำลองแสดงดังสมการที่ 16

$$y = -1239.4 + 4169.6x_1 - 5.066x_2 - 2.213x_3 - 1359.0x_1^2 + 2.685x_1x_2 - 21.57x_1x_3 - 0.00865x_2^2 + 0.158x_2x_3 - 0.383x_3^2 \quad (16)$$

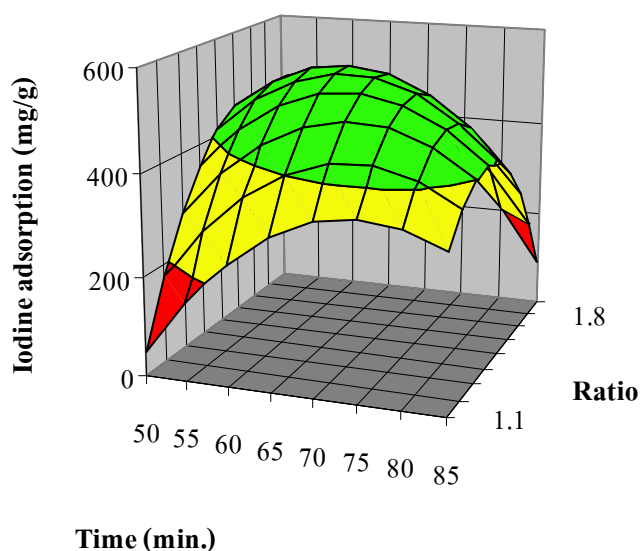
กำหนดให้

y	=	ค่าการดูดซับไอโอดีน (mg/g)
x_1	=	อัตราส่วนขี้เลื่อย:กรด
x_2	=	อุณหภูมิในการเผา (องศาเซลเซียส)
x_3	=	เวลาในการเผา (นาที)

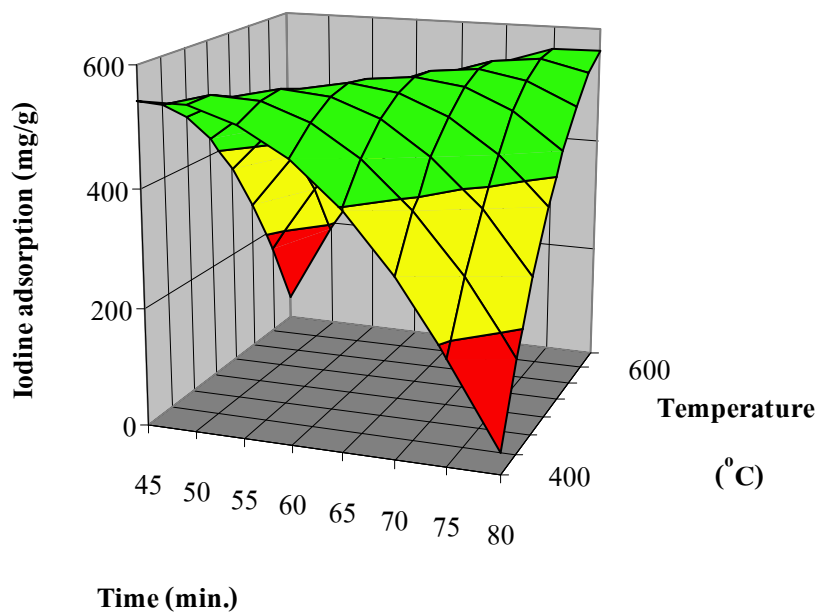
จากสมการที่ 16 แสดงให้เห็นถึงตัวแปรที่มีผลต่อค่าการดูดซับ ไอโอดีนของถ่านกัมมันต์ เมื่อพิจารณาค่า P value ในภาคผนวก ง ที่ได้จากแบบจำลองในแต่ละเทอม เทอมที่มีผลต่อค่าการดูดซับ ไอโอดีนของถ่านกัมมันต์มากที่สุดคือ อุณหภูมิและเวลาในการเผา ซึ่งมี P value = 4.15×10^{-4} และแบบจำลองที่ได้มีค่า R^2 และ R^2 adjusted เท่ากับ 0.923 และ 0.825 ตามลำดับ โดยทั่วไปแล้วการเพิ่มปริมาณกรดที่มากเกินไปจะส่งผลให้ค่าการดูดซับ ไอโอดีนลดลงเนื่องจากกรดจะทำให้รูพรุนของถ่านมีขนาดใหญ่ แต่เมื่อพิจารณาจากภาพประกอบที่ 33 ซึ่งเป็นกราฟพื้นผิวระหว่างอุณหภูมิกับอัตราส่วนขี้เลื่อยต่อกรดพบว่าที่อัตราส่วนขี้เลื่อยต่อกรดเป็น 1:1.7 กลับให้ค่าการดูดซับที่ดีกว่าที่อัตราส่วน 1:1.1 ซึ่งมีผลจากอุณหภูมิเข้ามาเกี่ยวข้อง ดังนั้นจึงสามารถสรุปได้ว่าอุณหภูมามีผลมากกว่าอัตราส่วนขี้เลื่อยต่อกรด ซึ่งความสัมพันธ์ของตัวแปรต่างๆกับค่าการดูดซับ ไอโอดีนของถ่านกัมมันต์สามารถแสดงในรูปของกราฟพื้นผิวดังภาพประกอบที่ 33 ถึง 35



ภาพประกอบที่ 33 กราฟพื้นผิวแสดงความสัมพันธ์ระหว่างอุณหภูมิในการเผาและอัตราส่วนซีลีอ์:กรด (บนฐานของซีลีอ์ 1 ส่วน) ที่มีผลต่อค่าการดูดซับไอโอดีนของถ่านกัมมันต์



ภาพประกอบที่ 34 กราฟพื้นผิวแสดงความสัมพันธ์ระหว่างเวลาในการเผา และอัตราส่วนซีลีอ์:กรด (บนฐานของซีลีอ์ 1 ส่วน) ที่มีผลต่อค่าการดูดซับไอโอดีนของถ่านกัมมันต์



ภาพประกอบที่ 35 กราฟพื้นผิวแสดงความสัมพันธ์ระหว่างเวลาในการเผาและอุณหภูมิในการเผา ที่มีผลต่อค่าการดูดซับไอโอดีนของถ่านกัมมันต์

เมื่อกำหนดค่าการดูดซับไอโอดีนของถ่านกัมมันต์ จากแบบจำลองในสมการที่ 16 เปรียบเทียบกับข้อมูลการคำนวณ (ตามภาคผนวก ค) ที่ได้จากการทดลอง พบว่าค่าส่วนใหญ่ใกล้เคียงกัน แสดงดังตารางที่ 13

ตารางที่ 13 แสดงค่าการดูดซับไอโอดีนของถ่านกัมมันต์ที่ได้จากการทดลองเปรียบเทียบกับค่าที่ได้จากการคำนวณโดยใช้แบบจำลอง

สถานะที่	ค่าการดูดซับไอโอดีนจากการทดลอง (mg/g)	ค่าการดูดซับไอโอดีนจากแบบจำลอง (mg/g)
1	75.15	54.13
2	520.44	507.37
3	254.32	268.58
4	344.27	377.03
5	283.67	319.05
6	393.64	390.98
7	461.61	486.07
8	257.69	229.93
9	553.16	522.76
10	474.6	557.03
11	375.63	348.81
12	619.4	557.03
13	580.32	557.03
14	379.4	420.95
15	328.11	333.83
16	314.95	298.56
17	535.56	557.03
18	216.41	227.20

เมื่อนำแบบจำลองในสมการที่ 16 ไปหาสภาวะการดำเนินการที่เหมาะสมเพื่อให้ได้ค่าการดูดซับไอโอดีนสูงสุด พบว่า สถานะที่เหมาะสมซึ่งให้ค่าการดูดซับไอโอดีน 677.78 mg/g คือ อัตราส่วนที่เลี้ยงต่อกรดเป็น 1:1.6 อุณหภูมิในการเผาที่ 400 องศาเซลเซียส เวลา 45 นาที

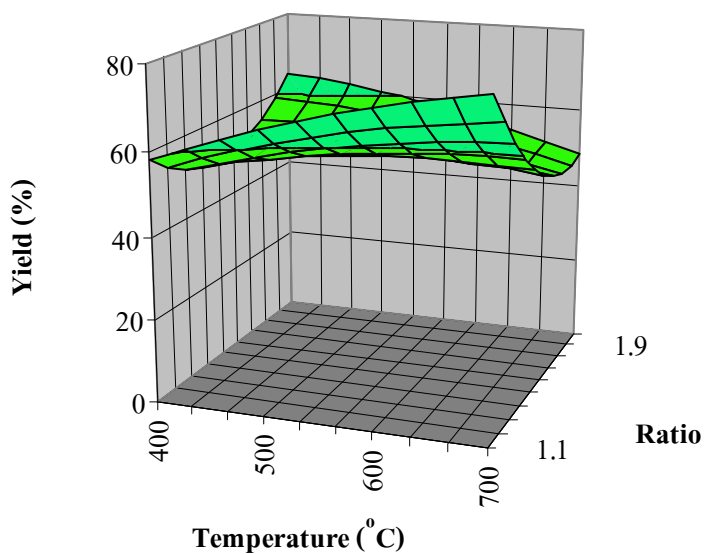
4.6.3 แบบจำลองอธิบายสถานะการทดลองที่มีผลต่อร้อยละผลได้

จากข้อมูลค่าร้อยละผลได้ของถ่านกัมมันต์ที่ได้จากการทดลอง สามารถนำมาสร้างแบบจำลองทางคณิตศาสตร์ได้แบบจำลองดังแสดงในสมการที่ 17 ซึ่งสามารถอธิบายความสัมพันธ์ของตัวแปรในการทดลองที่มีผลต่อค่าร้อยละผลได้ของถ่านกัมมันต์ได้

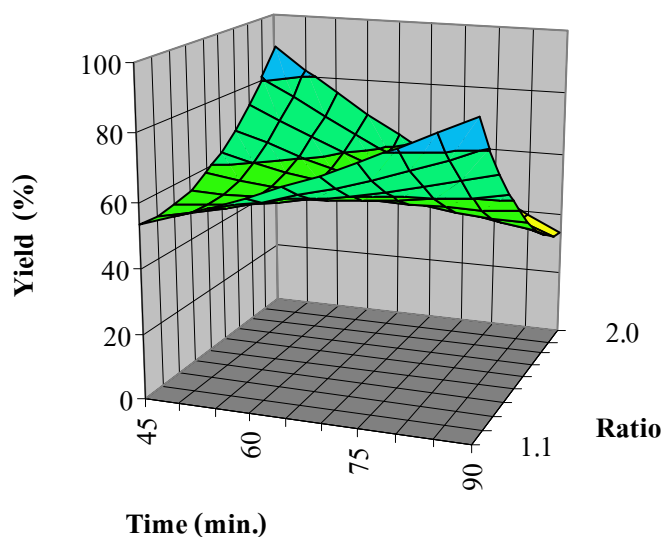
$$y = 46.13 + 50.48x_1 + 0.06671x_2 - 0.969x_3 + 45.03x_1^2 - 0.06839x_1x_2 - 2.464x_1x_3 - 0.000160x_2^2 + 0.00337x_2x_3 + 0.01930x_3^2 \quad (17)$$

กำหนดให้	y	= ร้อยละผลได้
	x_1	= อัตราส่วนขี้เถื่อย:กรด
	x_2	= อุณหภูมิในการเผา (องศาเซลเซียส)
	x_3	= เวลาในการเผา (นาที)

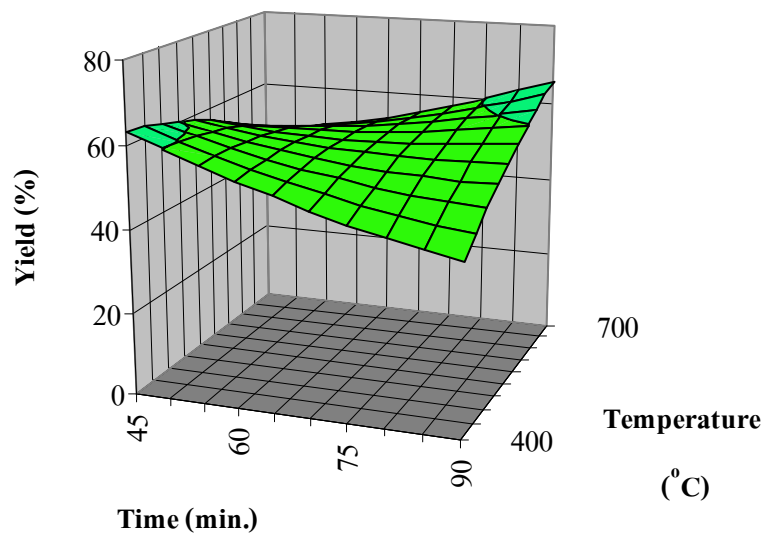
จากสมการที่ 17 แสดงให้เห็นถึงตัวแปรที่มีผลต่อค่าร้อยละผลได้ของถ่านกัมมันต์ ซึ่งเมื่อพิจารณาค่า P value ที่ได้จากแบบจำลองในแต่ละเทอม เทอมที่มีผลต่อค่าร้อยละผลได้ของถ่านกัมมันต์มากที่สุดคือ อัตราส่วนขี้เถื่อย:กรด และเวลาในการเผา ซึ่งมี P value = 2.88×10^{-4} โดยแบบจำลองที่ได้มีค่า R^2 และ R^2 adjusted เท่ากับ 0.936 และ 0.854 ตามลำดับ จากกราฟพื้นผิวของอัตราส่วนขี้เถื่อย:กรด อุณหภูมิ และเวลาต่อผลของร้อยละผลได้ทั้งสามแบบจะเห็นได้ว่ากราฟที่ได้จะมีแนวโน้มแตกต่างจากผลของพื้นที่ผิวและค่าการดูดซับไอโอดีน คือมีค่าสูงสุดที่หลายจุด โดยข้อมูลของแบบจำลองสามารถแสดงความสัมพันธ์ของตัวแปรต่างๆกับค่าร้อยละผลได้ของถ่านกัมมันต์ในรูปของกราฟพื้นผิวดังภาพประกอบที่ 36 ถึง 38



ภาพประกอบที่ 36 กราฟพื้นผิวแสดงความสัมพันธ์ระหว่างอุณหภูมิในการเผาและอัตราส่วนขี้เลื่อย:กรด (บนฐานของขี้เลื่อย 1 ส่วน) ที่มีผลต่อร้อยละผลได้ของถ่านกัมมันต์



ภาพประกอบที่ 37 กราฟพื้นผิวแสดงความสัมพันธ์ระหว่างเวลาในการเผาและอัตราส่วนขี้เลื่อย:กรด (บนฐานของขี้เลื่อย 1 ส่วน) ที่มีผลต่อร้อยละผลได้ของถ่านกัมมันต์



ภาพประกอบที่ 38 กราฟพื้นผิวแสดงความสัมพันธ์ระหว่างเวลาในการเผา และอุณหภูมิในการเผา ที่มีผลต่อร้อยละผลได้ของถ่านกัมมันต์

เมื่อคำนวณค่าร้อยละผลได้ของถ่านกัมมันต์จากแบบจำลองในสมการที่ 17 เปรียบเทียบกับข้อมูลการคำนวณ (ตามภาคผนวก ก) ที่ได้จากการทดลอง พบว่าค่าส่วนใหญ่ใกล้เคียงกัน แสดงดังตารางที่ 14

ตารางที่ 14 แสดงค่าร้อยละผลได้ของถ่านกัมมันต์ที่ได้จากการทดลองเปรียบเทียบกับค่าที่ได้จากการคำนวณ โดยใช้แบบจำลอง

สภาวะที่	ค่าร้อยละผลได้จากการทดลอง	ค่าร้อยละผลได้จากแบบจำลอง
1	58.41	57.31
2	72.11	69.49
3	53.29	54.56
4	54.76	58.33
5	59.75	61.11
6	52.34	52.09
7	79.78	57.31
8	67.52	79.47
9	47.50	64.94
10	55.78	44.84
11	50.95	67.60
12	49.97	53.10
13	52.29	53.10
14	58.65	58.38
15	43.16	46.90
16	66.36	68.14
17	54.97	53.10
18	50.76	47.23

เมื่อนำแบบจำลองในสมการที่ 17 ไปหาสภาวะการดำเนินการที่เหมาะสมเพื่อให้ได้ค่าการดูดซับไอโอดีนสูงสุด พบว่า สภาวะที่เหมาะสมซึ่งให้ค่าร้อยละผลได้ 75 คืออัตราส่วนจีเลื้อยต่อกรดเป็น 1:1.4 อุณหภูมิในการเผาที่ 700 องศาเซลเซียส เวลา 90 นาที

4.7 ปัจจัยที่มีผลต่อคุณภาพถ่านกัมมันต์ที่กระตุ้นด้วยไอน้ำ

จากผลการทดลองในการศึกษาปัจจัยของเวลาในการคาร์บอนไนซ์ในช่วง 30-60 นาที อุณหภูมิในการกระตุ้น 500-800 องศาเซลเซียส และเวลาในการกระตุ้น 45-90 นาที ต่อคุณสมบัติของถ่านกัมมันต์แสดงดังตารางที่ 15

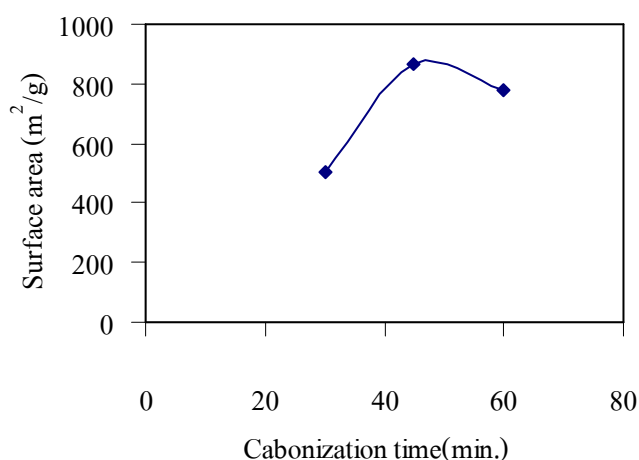
ตารางที่ 15 แสดงคุณสมบัติของถ่านกัมมันต์ที่ได้จากการกระตุ้นด้วยไอน้ำ

Conditions			Properties				
Carbonize (min)	Temp. (°C)	Time (min.)	Surface area (m ² /g)	Bulk Density (g/cm ³)	Iodine		
					Ads. (mg/g)	pH	% yield
Experiment I							
45	700	45	620.65	0.35381	327.31	6.476	47.71
45	700	60	835.01	0.33422	463.67	6.576	47.63
45	700	90	601.33	0.30065	201.24	7.134	46.28
Experiment II							
45	500	60	160.66	0.42226	57.61	6.163	48.60
45	600	60	748.75	0.40038	407.15	6.453	48.01
45	700	60	887.11	0.34009	461.07	6.772	47.45
45	800	60	699.52	0.29874	213.16	6.668	46.58
Experiment III							
30	700	60	500.54	0.36024	203.91	7.029	49.79
45	700	60	866.18	0.33910	463.39	7.102	46.22
60	700	60	778.16	0.32600	462.89	6.801	47.14

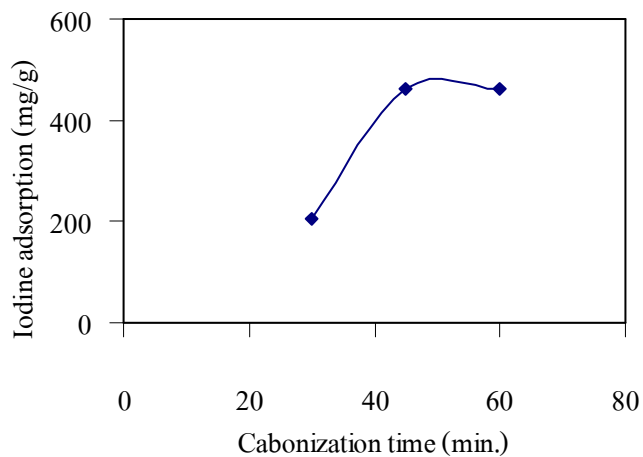
4.7.1 ผลของเวลาในการคาร์บอนไนซ์

จากตารางที่ 15 พบว่าค่าคุณสมบัติของถ่านกัมมันต์มีการเปลี่ยนแปลงเมื่อเวลาในการคาร์บอนไนซ์เพิ่มขึ้นที่อุณหภูมิและเวลาในการกระตุ้นเดียวกัน เมื่อพิจารณาค่าพื้นที่ผิว พบว่าค่าพื้นที่ผิวของถ่านกัมมันต์เพิ่มขึ้นตามเวลาในการคาร์บอนไนซ์ที่เพิ่มขึ้นและเพิ่มจนถึงค่าสูงสุดค่าหนึ่ง ดังภาพประกอบที่ 39 โดยเพิ่มจาก 620.65 m²/g ที่เวลาในการคาร์บอนไนซ์ 30 นาที เป็น 835.01 m²/g ที่เวลาในการคาร์บอนไนซ์ 45 นาที หลังจากนั้นค่าพื้นที่ผิวจะลดลงเป็น 778.16 m²/g แสดงให้เห็นว่าสารระเหยที่ไม่ได้อยู่บนผิวถ่านหรือมีโมเลกุลใหญ่ๆซึ่งต้องใช้เวลานานในการไล่ ดังนั้น การเพิ่มเวลาในการคาร์บอนไนซ์จึงสามารถไล่สารระเหยจำพวกนี้ออกไปได้ ส่งผลให้ถ่านมีโครงสร้างที่เป็นรูพรุนมากขึ้นทำให้สามารถดูดซับสารได้มากขึ้น สังเกตจากค่าการดูดซับไอโอดีนที่เปลี่ยนไปเมื่อเวลาในการคาร์บอนไนซ์เพิ่มขึ้นดังภาพประกอบที่ 40 โดยค่าความสามารถในการดูดซับไอโอดีนเพิ่มจาก 203.91 mg/g ที่เวลาในการคาร์บอนไนซ์ 30 นาที เป็น 663.39 mg/g ที่เวลาในการคาร์บอนไนซ์ 45 นาที ซึ่งมีค่าใกล้เคียงกับสถานะที่เผาโดยใช้เวลาในการคาร์บอนไนซ์ 60 นาที

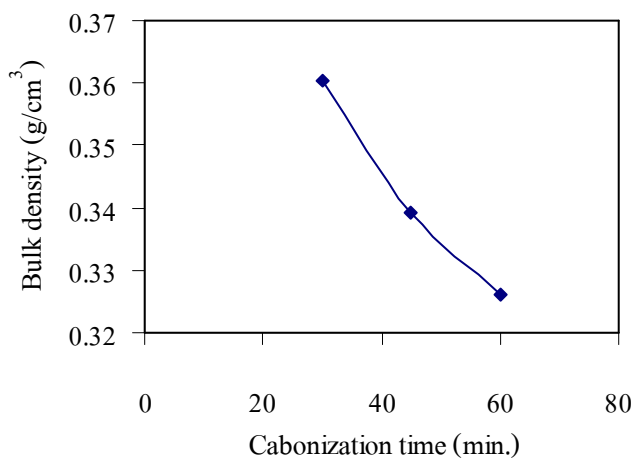
ค่าความหนาแน่นปรากฏและค่าร้อยละผลได้มีค่าลดลงเล็กน้อย เมื่อเวลาในการคาร์บอนไนซ์เพิ่มขึ้น ดังภาพประกอบที่ 41 ถึง 42 และในภาพประกอบที่ 43 แสดงผลของเวลาในการคาร์บอนไนซ์ต่อค่าความเป็นกรดต่าง พบว่าค่าความเป็นกรดต่างมีการเปลี่ยนแปลงน้อยมากเมื่อเวลาในการคาร์บอนไนซ์เพิ่มขึ้น ดังนั้นในการศึกษาร่วมกับ RSM จึงเลือกเวลาคาร์บอนไนซ์ช่วง 30-60 นาที



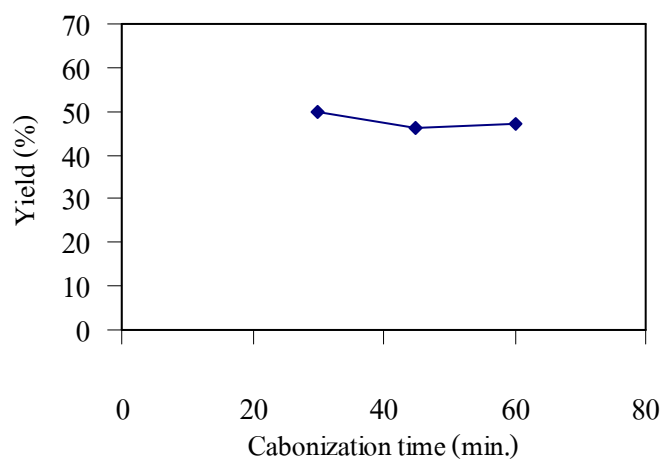
ภาพประกอบที่ 39 แสดงผลของเวลาคาร์บอนไนซ์ต่อค่าพื้นที่ผิวของถ่านกัมมันต์ เมื่ออุณหภูมิและเวลาในการกระตุ้นคงที่ที่ 700 °C และ 60 นาที ตามลำดับ



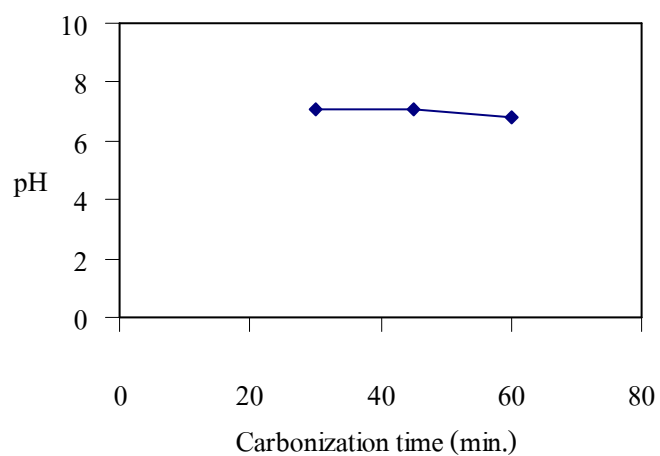
ภาพประกอบที่ 40 แสดงผลของเวลาคาร์บอนไนซ์ต่อการดูดซับไอโอดีนของถ่านกัมมันต์ เมื่ออุณหภูมิและเวลาในการกระตุ้นอยู่ที่ 700 °C และ 60 นาที ตามลำดับ



ภาพประกอบที่ 41 แสดงผลของเวลาคาร์บอนไนซ์ต่อความหนาแน่นปรากฏของถ่านกัมมันต์ เมื่ออุณหภูมิและเวลาในการกระตุ้นอยู่ที่ 700 °C และ 60 นาที ตามลำดับ



ภาพประกอบที่ 42 แสดงผลของเวลาคาร์บอนไนซ์ต่อร้อยละผลได้ของถ่านกัมมันต์ เมื่ออุณหภูมิและเวลาในการกระตุ้นคงที่ที่ $700\text{ }^{\circ}\text{C}$ และ 60 นาที ตามลำดับ

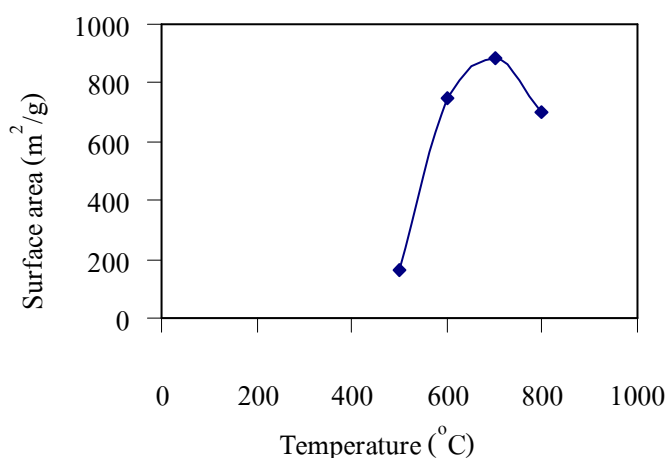


ภาพประกอบที่ 42 แสดงผลของเวลาคาร์บอนไนซ์ต่อความเป็นกรดต่างของถ่านกัมมันต์เมื่ออุณหภูมิและเวลาในการกระตุ้นคงที่ที่ $700\text{ }^{\circ}\text{C}$ และ 60 นาที ตามลำดับ

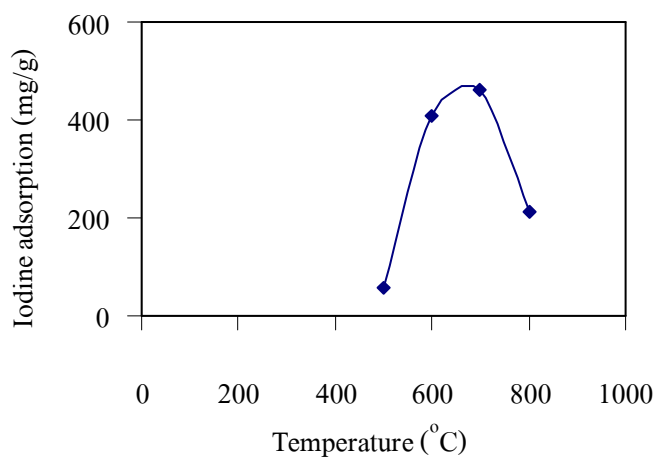
4.7.2 ผลของอุณหภูมิ

จากการศึกษาผลของอุณหภูมิในตารางที่ 15 พบว่าอุณหภูมิมิมีผลต่อคุณสมบัติของถ่านกัมมันต์ โดยเมื่ออุณหภูมิเพิ่มขึ้นค่าพื้นที่ผิวและความสามารถในการดูดซับไอโอดีนจะเพิ่มขึ้น โดยจะเพิ่มจนมีค่าสูงสุดที่อุณหภูมิกำหนด พบว่าค่าพื้นที่ผิวจะเพิ่มจาก 160.66 m^2/g เป็น 887.11 m^2/g จากอุณหภูมิ 500 องศาเซลเซียสเป็น 700 องศาเซลเซียส หลังจากนั้นเมื่ออุณหภูมิเพิ่มถึง 800 องศาเซลเซียส ค่าพื้นที่ผิวจะลดลงเป็น 699.52 m^2/g ดังภาพประกอบที่ 44 ส่วนค่าการดูดซับไอโอดีนเพิ่มขึ้นเมื่ออุณหภูมิเพิ่มจาก 500 องศาเซลเซียส จนถึง 700 องศาเซลเซียส และมีค่าลดลงเมื่อถึงอุณหภูมิ 800 องศาเซลเซียส โดยเพิ่มจาก 57.61 mg/g เป็น 661.07 mg/g และลดลงเป็น 407.15 mg/g ดังแสดงในภาพประกอบที่ 45 เนื่องจากที่อุณหภูมิสูง ส่งผลให้ผนังที่กั้นระหว่างรูพรุนเกิดการยุบตัวทำให้อุณหภูมิขยายตัวเป็นรูพรุนที่มีขนาดใหญ่ขึ้น ส่งผลให้ค่าพื้นที่ผิวและค่าการดูดซับไอโอดีนลดลง

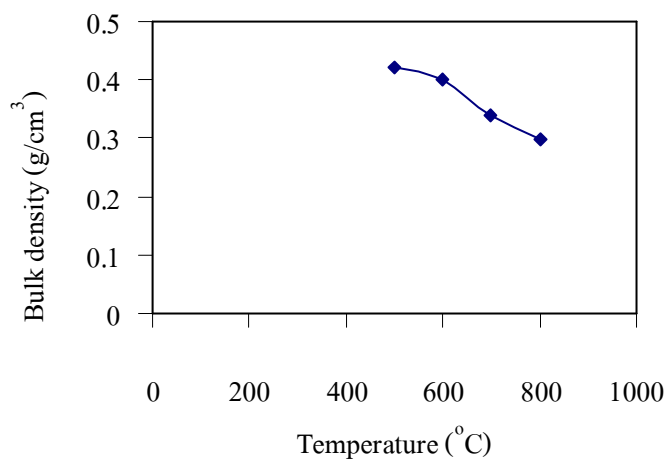
เมื่อพิจารณาค่าความหนาแน่นปรากฏและค่าร้อยละผลได้ในภาพประกอบที่ 46 และ 47 พบว่าเมื่ออุณหภูมิสูงขึ้นค่าความหนาแน่นปรากฏและค่าร้อยละผลได้จะลดลง เนื่องจากรูพรุนเกิดการขยายตัวเป็นรูพรุนขนาดใหญ่ ส่งผลให้น้ำหนักถ่านลดลงค่าร้อยละผลได้และความหนาแน่นปรากฏจึงลดลง ในส่วนของค่าความเป็นกรดต่างของถ่านกัมมันต์จะอยู่ในช่วง 6-7 และเปลี่ยนแปลงน้อยมากเมื่ออุณหภูมิสูงขึ้น ดังนั้น จึงเลือกช่วงของอุณหภูมิที่ใช้กับ RSM เป็น 500-700 องศาเซลเซียส เนื่องจากการเลือกอุณหภูมิสูงเกินไปไม่ได้ส่งผลให้ถ่านมีคุณภาพดีขึ้น



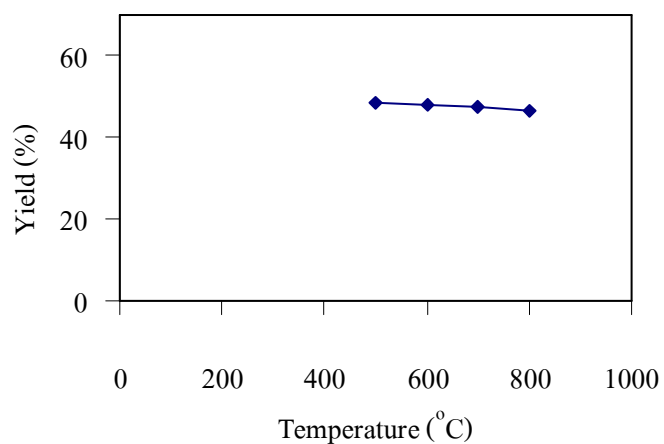
ภาพประกอบที่ 44 แสดงผลของอุณหภูมิต่อค่าพื้นที่ผิวของถ่านกัมมันต์ เมื่อเวลาในการคาร์บอนไนซ์คงที่ที่ 45 นาที และเวลาในการเผาคงที่ที่ 60 นาที



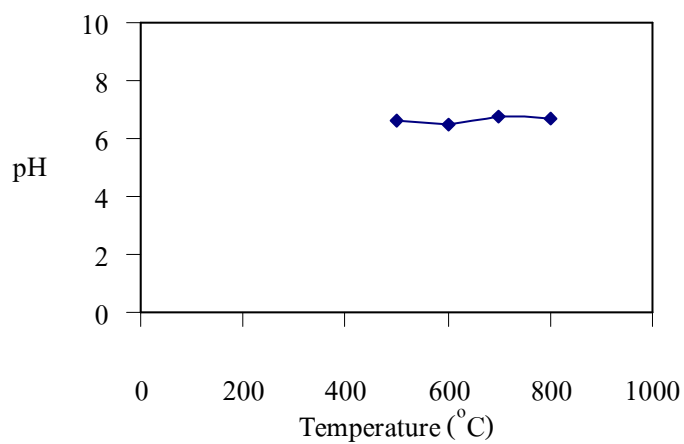
ภาพประกอบที่ 45 แสดงผลของอุณหภูมิต่อการดูดซับไอโอดีนของถ่านกัมมันต์ เมื่อเวลาในการคาร์บอนไนซ์ครั้งที่ 45 นาที และเวลาในการเผาครั้งที่ 60 นาที



ภาพประกอบที่ 46 แสดงผลของอุณหภูมิต่อค่าความหนาแน่นปรากฏของถ่านกัมมันต์ เมื่อเวลาในการคาร์บอนไนซ์ครั้งที่ 45 นาที และเวลาในการเผาครั้งที่ 60 นาที



ภาพประกอบที่ 47 แสดงผลของอุณหภูมิต่อร้อยละผลได้ของถ่านกัมมันต์ เมื่อเวลาในการคาร์บอนไนซิ่งที่ 45 นาที และเวลาในการเผาที่ 60 นาที

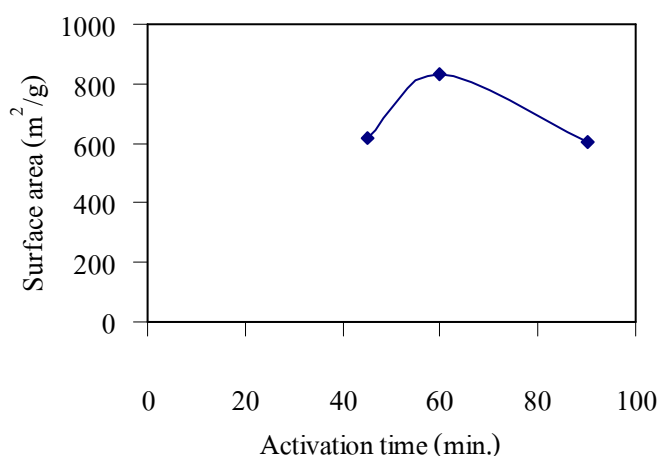


ภาพประกอบที่ 48 แสดงผลของอุณหภูมิต่อความเป็นกรดต่างของถ่านกัมมันต์เมื่อเวลาในการคาร์บอนไนซิ่งที่ 45 นาที และเวลาในการเผาที่ 60 นาที

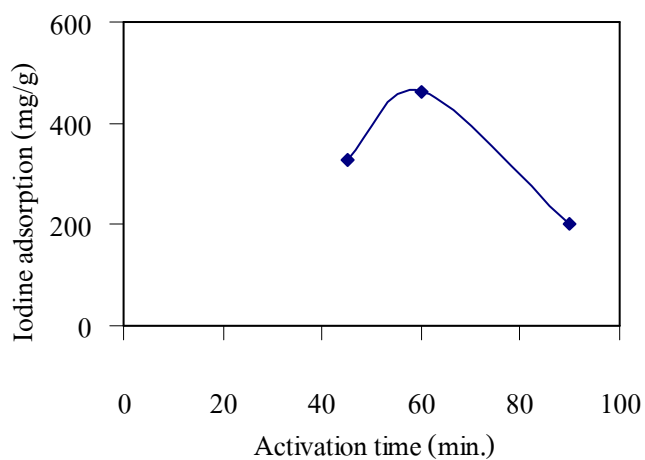
4.7.3 ผลของเวลาในการกระตุ้น

จากการศึกษาผลของเวลาต่อคุณสมบัติของถ่านกัมมันต์ พบว่าค่าคุณสมบัติต่างๆที่เปลี่ยนไปเป็นผลมาจากเวลาที่เปลี่ยนไป จากข้อมูลในตารางที่ 15 เมื่อพิจารณาค่าพื้นที่ผิวและค่าการดูดซับไอโอดีนซึ่งมีแนวโน้มเหมือนกันคือ มีค่าสูงขึ้นเมื่อเวลาในการกระตุ้นสูงขึ้น โดยค่าพื้นที่ผิวเพิ่มจาก 620.65 m²/g ที่เวลาในการเผา 45 นาที เป็นค่าสูงสุด 835.01 m²/g ที่เวลาในการเผา 60 นาที ดังภาพประกอบที่ 49 แสดงให้เห็นว่าถ่านกัมมันต์มีโครงสร้างที่เป็นรูพรุนเพิ่มขึ้นเมื่อใช้เวลาในการกระตุ้นเพิ่มขึ้นแต่จะเพิ่มขึ้นจนได้ค่าสูงสุดที่เวลาค่าหนึ่ง เนื่องจากถ่านถูกออกซิไดซ์เป็นเวลานานทำให้เกิดการยุบตัวของผนังรูพรุน ส่งผลให้รูพรุนขนาดเล็กเกิดการขยายตัว ค่าความสามารถในการดูดซับไอโอดีนจึงมีแนวโน้มไปในทิศทางเดียวกับค่าพื้นที่ผิว ซึ่งค่าการดูดซับไอโอดีนมีค่าเพิ่มขึ้นจาก 327.31 mg/g ที่เวลาในการเผา 45 นาที เป็น 663.67 mg/g ที่เวลาในการเผา 60 นาที หลังจากนั้นค่าการดูดซับจะลดลงเป็น 201.24 mg/g ที่เวลาในการเผา 90 นาที ดังภาพประกอบที่ 50

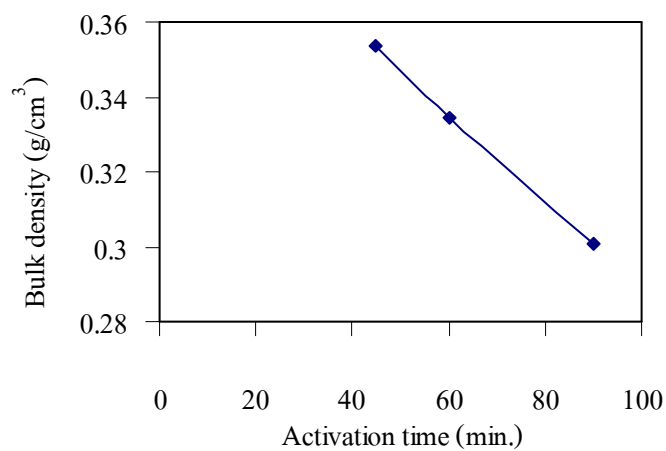
ค่าความหนาแน่นปรากฏและค่าร้อยละผลได้มีค่าลดลงเมื่อเวลาในการกระตุ้นเพิ่มขึ้น ทั้งนี้เป็นเพราะเวลาที่เพิ่มขึ้นทำให้โครงสร้างและมวลของไม้มีการเปลี่ยนแปลง ดังแสดงในภาพประกอบที่ 51 และ 52 ส่วนค่าความเป็นกรดค้างของถ่านกัมมันต์มีการเปลี่ยนแปลงเล็กน้อยแสดงในภาพประกอบที่ 53 ดังนั้นช่วงของเวลาที่เหมาะสมในการนำไปใช้กับ RSM จึงเป็นช่วงเวลาในการกระตุ้นที่ 45 – 90 นาที



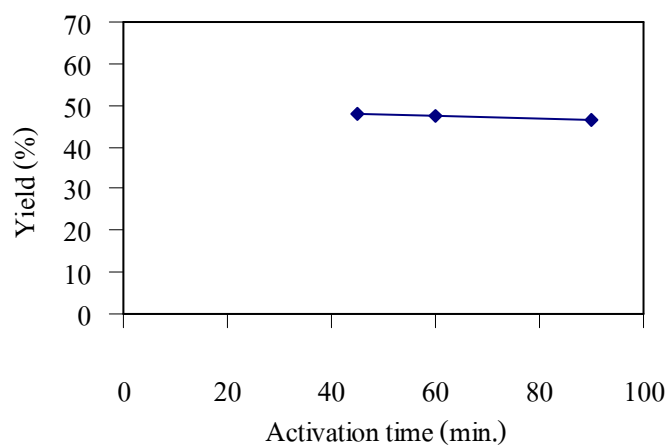
ภาพประกอบที่ 49 แสดงผลของเวลาในการกระตุ้นต่อค่าพื้นที่ผิวของถ่านกัมมันต์ เมื่อเวลาในการคาร์บอนไนซ์คงที่ที่ 45 นาที และอุณหภูมิคงที่ที่ 700 °C



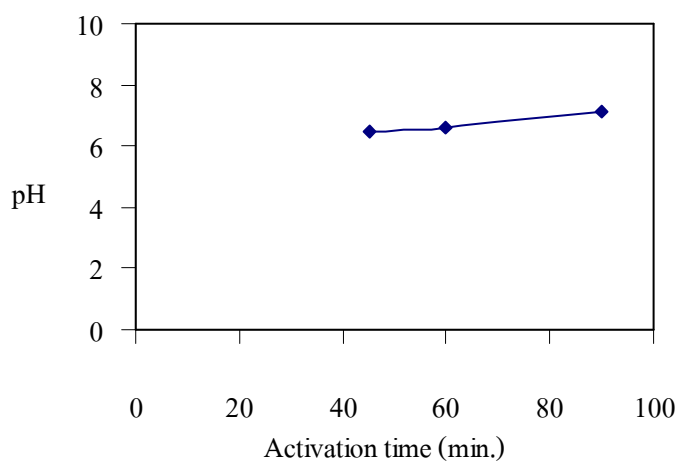
ภาพประกอบที่ 50 แสดงผลของเวลาในการกระตุ้นต่อการดูดซับไอโอดีนของถ่านกัมมันต์ เมื่อเวลาในการคาร์บอนไนซิ่งอยู่ที่ 45 นาที และอุณหภูมิคงที่ที่ 700 °C



ภาพประกอบที่ 51 แสดงผลของเวลาการกระตุ้นต่อความหนาแน่นปรากฏของถ่านกัมมันต์ เมื่อเวลาในการคาร์บอนไนซิ่งอยู่ที่ 45 นาที และอุณหภูมิคงที่ที่ 700 °C



ภาพประกอบที่ 52 แสดงผลของเวลาในการกระตุ้นต่อร้อยละผลได้ของถ่านกัมมันต์ เมื่อเวลาในการคาร์บอนไนซ์คงที่ที่ 45 นาที และอุณหภูมิคงที่ที่ 700 °C



ภาพประกอบที่ 53 แสดงผลของเวลาในการกระตุ้นต่อความเป็นกรดต่างของถ่านกัมมันต์ เมื่อเวลาในการคาร์บอนไนซ์คงที่ที่ 45 นาที และอุณหภูมิคงที่ที่ 700 °C

4.8 สภาวะที่เหมาะสมในการผลิตถ่านกัมมันต์จากการกระตุ้นด้วยไอน้ำ

จากการออกแบบสภาวะการทดลองโดยใช้โปรแกรม RSM ที่กำหนดตัวแปรต้น 3 ตัวแปร คือ เวลาในการคาร์บอนไนซ์ อุณหภูมิในการเผา และเวลาในการเผา และตัวแปรตาม 3 ตัวแปร คือ ร้อยละผลได้ ค่าพื้นที่ผิว และค่าการดูดซับไอโอดีนได้ผลการทดลองดังแสดงในตารางที่ 16

ตารางที่ 16 แสดงสภาวะการทดลองโดยการกระตุ้นด้วยไอน้ำที่มีผลต่อร้อยละผลได้ พื้นที่ผิว และการดูดซับไอโอดีน

สภาวะที่	ร้อยละผลได้	ค่าพื้นที่ผิว (m^2/g)	ค่าการดูดซับไอโอดีน (mg/g)
1	44.88	978.03	645.73
2	47.03	572.32	358.32
3	54.06	214.28	65.24
4	53.67	252.56	110.60
5	50.86	286.63	101.81
6	62.98	52.945	8.327
7	63.28	39.60	11.172
8	47.97	601.33	322.00
9	47.18	937.60	553.02
10	62.49	11.106	7.524
11	49.59	734.48	237.60
12	64.62	58.303	5.052
13	59.33	67.877	47.404
14	48.91	902.19	356.67
15	56.16	306.19	110.72
16	49.55	887.11	403.81
17	48.51	672.97	396.28
18	49.75	230.61	49.71

4.9 แบบจำลองอธิบายผลของสถานะดำเนินการในการกระตุ้นด้วยไอน้ำ

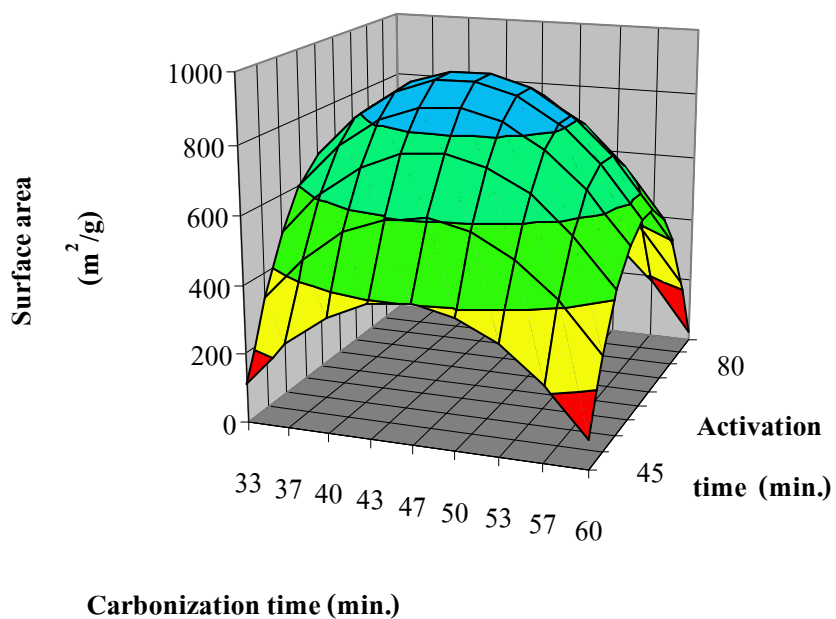
4.9.1 แบบจำลองอธิบายสถานะการทดลองที่มีผลต่อพื้นที่ผิว

เมื่อนำข้อมูลค่าพื้นที่ผิวของถ่านกัมมันต์ที่ได้จากการทดลอง มาสร้างแบบจำลองทางคณิตศาสตร์ได้โดยใช้โปรแกรม Essential regression ซึ่งสามารถอธิบายความสัมพันธ์ของตัวแปรในการทดลองที่มีผลต่อค่าพื้นที่ผิวของถ่านกัมมันต์ได้ ดังแสดงในสมการที่

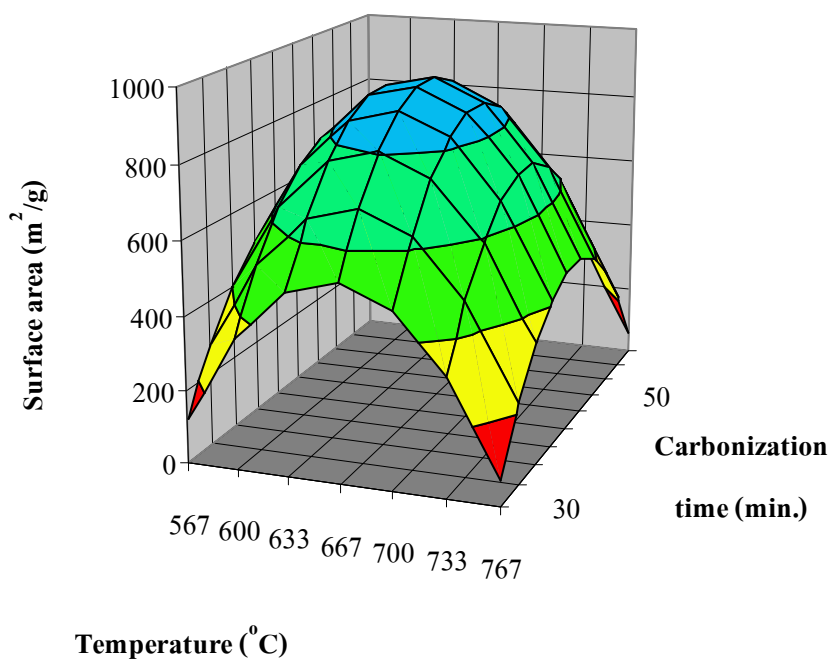
$$y = -31031.4 + 156.25x_1 + 72.27x_2 + 128x_3 - 1.476x_1^2 - 0.0189x_1x_2 - 0.145x_1x_3 - 0.05356x_2^2 - 0.894x_3^2 \quad (18)$$

กำหนดให้	y	= ค่าพื้นที่ผิว (m^2/g)
	x_1	= เวลาในการคาร์บอนไนซ์ (นาที)
	x_2	= อุณหภูมิในการเผา (องศาเซลเซียส)
	x_3	= เวลาในการเผา (นาที)

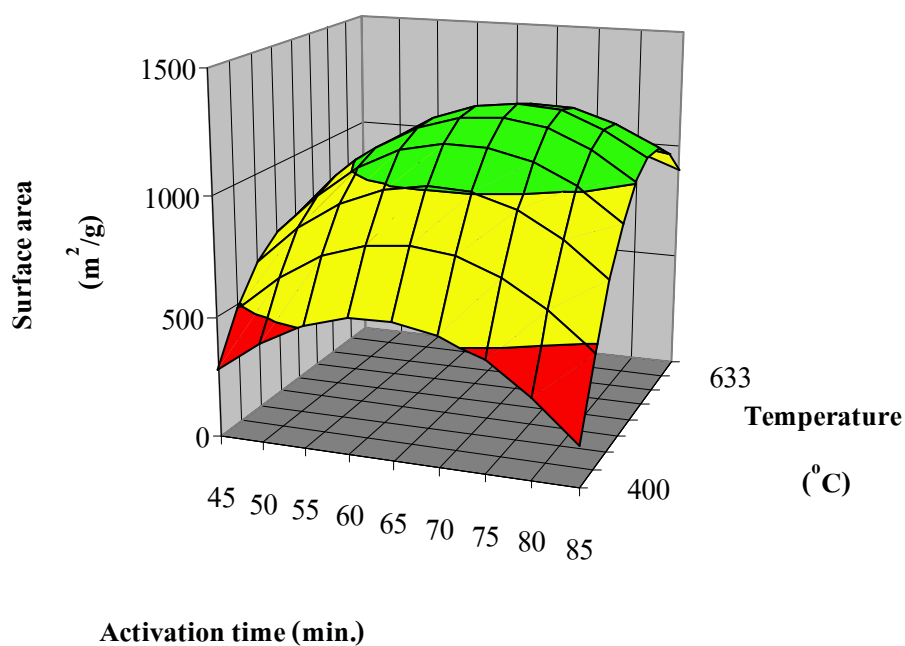
จากสมการที่ 18 แสดงให้เห็นถึงตัวแปรที่มีผลต่อค่าพื้นที่ผิวของถ่านกัมมันต์ ซึ่งจากแบบจำลองทอมที่มีผลต่อค่าพื้นที่ผิวของถ่านกัมมันต์มากที่สุดคือ อุณหภูมิในการเผา ซึ่งมี P value = 7.84×10^{-5} โดยแบบจำลองที่ได้มีค่า R^2 และ R^2 adjusted เท่ากับ 0.901 และ 0.803 ตามลำดับ หากค่า R^2 adjusted มีค่าใกล้เคียงกับค่า R^2 แสดงว่าแต่ละเทอมในแบบจำลองที่ได้มีผลอย่างมีนัยสำคัญต่อค่าพื้นที่ผิวของถ่านกัมมันต์ และเมื่อพิจารณากราฟพื้นที่ผิวพบว่ามีแนวโน้มเหมือนกับการศึกษาผลของปัจจัยที่มีผลต่อถ่านกัมมันต์ คือมีค่าเพิ่มขึ้นจนถึงจุดสูงสุดค่าหนึ่งหลังจากนั้นจะลดลง แสดงให้เห็นว่าปัจจัยมีทั้งสามมีผลร่วมกันต่อค่าพื้นที่ผิวของถ่านกัมมันต์ ซึ่งสามารถแสดงความสัมพันธ์ดังภาพประกอบที่ 54 ถึง 56



ภาพประกอบที่ 54 กราฟพื้นผิวแสดงความสัมพันธ์ระหว่างเวลาในการเผา และเวลาในการคาร์บอนไนซ์ที่มีผลต่อพื้นที่ผิวของถ่านกัมมันต์



ภาพประกอบที่ 55 กราฟพื้นผิวแสดงความสัมพันธ์ระหว่างอุณหภูมิในการเผา และเวลาในการคาร์บอนไนซ์ที่มีผลต่อพื้นที่ผิวของถ่านกัมมันต์



ภาพประกอบที่ 56 กราฟพื้นผิวแสดงความสัมพันธ์ระหว่างอุณหภูมิในการเผา และเวลาในการเผา ที่มีผลต่อพื้นที่ผิวของถ่านกัมมันต์

เมื่อคำนวณค่าพื้นที่ผิวของถ่านกัมมันต์ที่ได้จากการกระตุ้นด้วยไอน้ำจากแบบจำลองในสมการที่ 18 เปรียบเทียบกับข้อมูลที่ได้จากการทดลอง พบว่าค่าส่วนใหญ่ใกล้เคียงกัน แสดงดังตารางที่ 17

ตารางที่ 17 แสดงค่าพื้นที่ผิวของถ่านกัมมันต์ที่ได้จากการทดลอง โดยการกระตุ้นด้วยไอน้ำเปรียบเทียบกับค่าที่ได้จากการคำนวณ โดยใช้แบบจำลอง

สถานะที่	ค่าพื้นที่ผิวที่ได้จากการทดลอง (m ² /g)	ค่าพื้นที่ผิวที่ได้จากแบบจำลอง(m ² /g)
1	978.03	930.97
2	572.32	460.55
3	214.28	365.42
4	252.56	402.64
5	286.63	402.18
6	52.95	91.81
7	39.60	64.47
8	601.33	495.88
9	937.60	930.97
10	11.11	542.86
11	734.48	617.84
12	58.30	121.54
13	67.88	84.78
14	902.19	930.97
15	306.19	429.97
16	887.11	930.97
17	672.97	579.89
18	230.61	5.406

เมื่อนำแบบจำลองในสมการที่ 18 ไปหาสถานะการดำเนินการที่เหมาะสมเพื่อให้ได้ค่าพื้นที่ผิวสูงสุด พบว่า สถานะที่เหมาะสมซึ่งให้ค่าพื้นที่ผิว 946.11 m²/g คือเวลาในการคาร์บอนไนซ์ 46 นาที อุณหภูมิในการเผาที่ 667 องศาเซลเซียส เวลา 68 นาที จากการทดลองพบว่าสถานะที่ให้ค่าพื้นที่ผิวดีที่สุดคือสถานะที่เวลาในการคาร์บอนไนซ์เป็น 45 นาที อุณหภูมิในการเผาที่ 650 องศาเซลเซียส เวลา 68 นาที พบว่าสถานะที่ดีที่สุดที่ได้โดยใช้แบบจำลองมีความสอดคล้องกับผลการทดลอง ดังนั้นแบบจำลองที่ได้จึงมีความน่าเชื่อถือ

4.9.2 แบบจำลองอธิบายสถานะการทดลองที่มีผลต่อค่าการดูดซับไอโอดีน

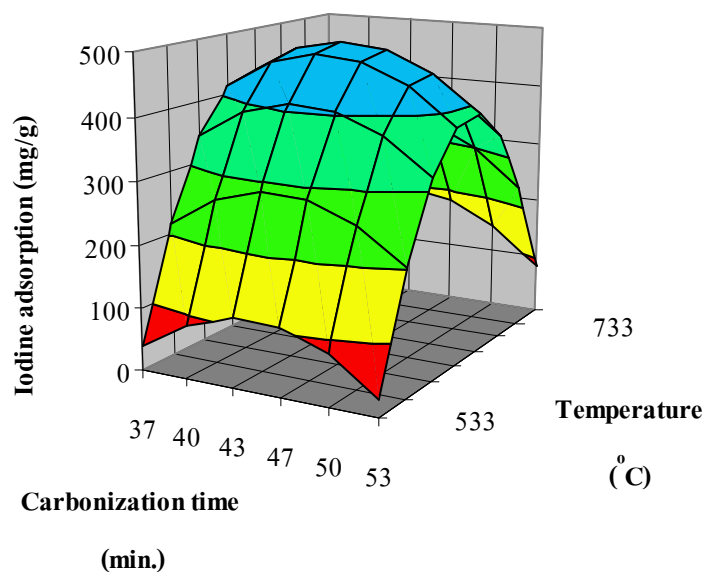
จากข้อมูลค่าการดูดซับไอโอดีนของถ่านกัมมันต์ที่ได้จากการทดลอง สามารถนำมาสร้างแบบจำลองทางคณิตศาสตร์ ซึ่งสามารถอธิบายความสัมพันธ์ของตัวแปรในการทดลอง ที่มีผลต่อค่าการดูดซับไอโอดีนของถ่านกัมมันต์ได้ แบบจำลองแสดงดังสมการที่ 19

$$y = -20547.8 + 74.23x_1 + 54.64x_2 + 44.38x_3 - 0.745x_1^2 - 0.01418x_1x_2 - 0.04074x_2^2 - 0.00813x_2x_3 - 0.291x_3^2 \quad (19)$$

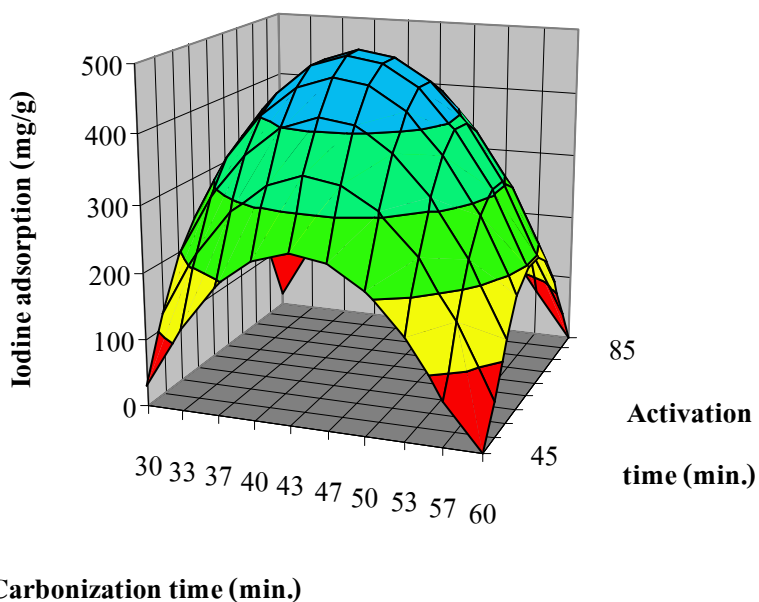
กำหนดให้

y	=	ค่าการดูดซับไอโอดีน (mg/g)
x_1	=	เวลาในการคาร์บอนไนซ์ (นาที)
x_2	=	อุณหภูมิในการเผา (องศาเซลเซียส)
x_3	=	เวลาในการเผา (นาที)

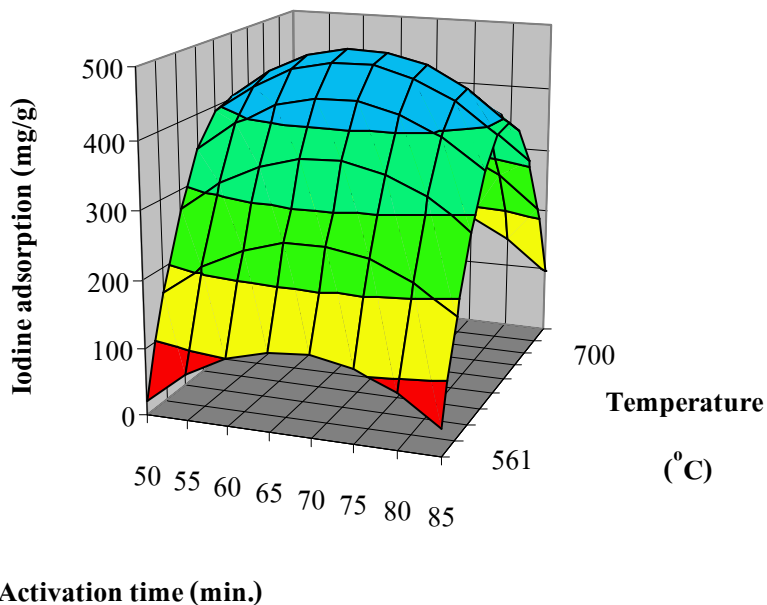
จากสมการที่ 19 แสดงให้เห็นถึงตัวแปรที่มีผลต่อค่าการดูดซับไอโอดีนของถ่านกัมมันต์ ซึ่งเมื่อพิจารณาค่า P value ที่ได้จากแบบจำลองในแต่ละเทอม เทอมที่มีผลต่อค่าการดูดซับไอโอดีนของถ่านกัมมันต์มากที่สุดคือ อุณหภูมิในการเผา ซึ่งมี P value = 2.78×10^{-4} โดยแบบจำลองที่ได้มีค่า R^2 และ R^2 adjusted เท่ากับ 0.899 และ 0.784 ตามลำดับ จากข้อมูลของแบบจำลองสามารถแสดงความสัมพันธ์ของตัวแปรต่างๆกับค่าการดูดซับไอโอดีนของถ่านกัมมันต์ในรูปของกราฟพื้นผิวดังภาพประกอบที่ 57 ถึง 59



ภาพประกอบที่ 57 กราฟพื้นผิวแสดงความสัมพันธ์ระหว่างอุณหภูมิในการเผา และเวลาในการคาร์บอนไนซ์ ที่มีผลต่อค่าการดูดซับไอโอดีนของถ่านกัมมันต์



ภาพประกอบที่ 58 กราฟพื้นผิวแสดงความสัมพันธ์ระหว่างเวลาในการเผา และเวลาในการคาร์บอนไนซ์ ที่มีผลต่อค่าการดูดซับไอโอดีนของถ่านกัมมันต์



ภาพประกอบที่ 59 กราฟพื้นผิวแสดงความสัมพันธ์ระหว่างเวลาในการเผา และอุณหภูมิในการเผา ที่มีผลต่อค่าการดูดซับไอโอดีนของถ่านกัมมันต์

เมื่อกำหนดค่าการดูดซับไอโอดีนของถ่านกัมมันต์ที่ได้จากการกระตุ้นด้วยไอน้ำ จากแบบจำลองในสมการที่ 19 เปรียบเทียบกับข้อมูลที่ได้จากการทดลอง พบว่าค่าการดูดซับไอโอดีนส่วนใหญ่ใกล้เคียงกัน แสดงดังตารางที่ 18

ตารางที่ 18 แสดงค่าการดูดซับไอโอดีนของถ่านกัมมันต์ที่ได้จากการทดลองโดยการกระตุ้นด้วยไอน้ำเปรียบเทียบกับค่าที่ได้จากการคำนวณโดยใช้แบบจำลอง

สถานะที่	ค่าการดูดซับไอโอดีนจากการทดลอง (mg/g)	ค่าการดูดซับไอโอดีนจากแบบจำลอง (mg/g)
1	645.73	485.42
2	358.32	342.53
3	65.24	44.16
4	110.60	144.67
5	101.81	75.68
6	8.33	31.87
7	11.17	25.55
8	322.00	334.00
9	553.02	485.42
10	7.52	4394.29
11	237.60	287.24
12	5.05	0.28861
13	47.40	6.03
14	356.67	485.42
15	110.72	113.145
16	403.81	485.42
17	396.28	348.35
18	49.71	332.57

สถานะการดำเนินการที่เหมาะสมสามารถคำนวณจากสมการที่ 19 เพื่อให้ได้ค่าการดูดซับไอโอดีนที่สูงสุด พบว่า สถานะที่เหมาะสมซึ่งให้ค่าการดูดซับไอโอดีนสูงสุด 488.63 mg/g คือ เวลาในการคาร์บอนไนซ์ 44 นาที อุณหภูมิในการเผาที่ 657 องศาเซลเซียส เวลา 67 นาที จากการทดลองพบว่าสถานะที่ให้ค่าการดูดซับไอโอดีนดีที่สุดคือสถานะที่เวลาในการคาร์บอนไนซ์เป็น 45 นาที อุณหภูมิในการเผาที่ 650 องศาเซลเซียส เวลา 68 นาที พบว่าสถานะทั้งสองมีความสอดคล้องกัน ดังนั้นแบบจำลองที่ได้จึงมีความน่าเชื่อถือ

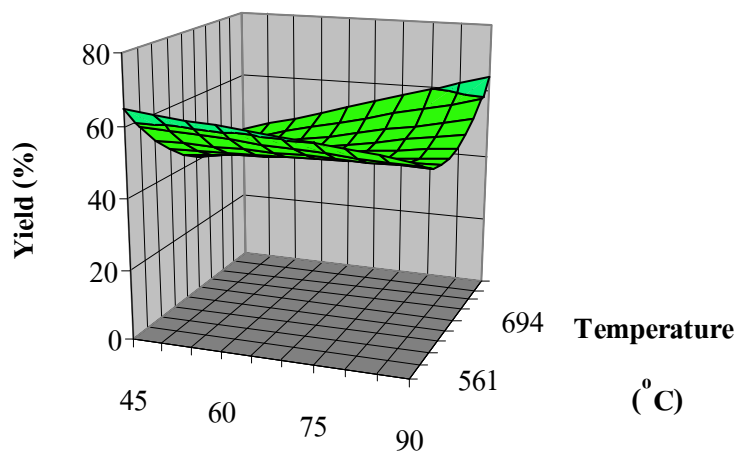
4.9.3 แบบจำลองอธิบายสถานะการทดลองที่มีผลต่อร้อยละผลได้

จากข้อมูลค่าร้อยละผลได้ของถ่านกัมมันต์ที่ได้จากการทดลอง สามารถนำมาสร้างแบบจำลองทางคณิตศาสตร์ได้แบบจำลองดังแสดงในสมการที่ ซึ่งสามารถอธิบายความสัมพันธ์ของตัวแปรในการทดลองที่มีผลต่อค่าร้อยละผลได้ของถ่านกัมมันต์ได้

$$y = 553.52 - 0.840x_1 - 1.352x_2 - 0.769x_3 + 0.01137x_1^2 + 0.00202x_1x_2 - 0.02088x_1x_3 + 0.000763x_2^2 + 0.00277x_2x_3 \quad (20)$$

กำหนดให้	y	= ค่าร้อยละผลได้
	x_1	= เวลาในการคาร์บอนไนซ์ (นาที)
	x_2	= อุณหภูมิในการเผา (องศาเซลเซียส)
	x_3	= เวลาในการเผา (นาที)

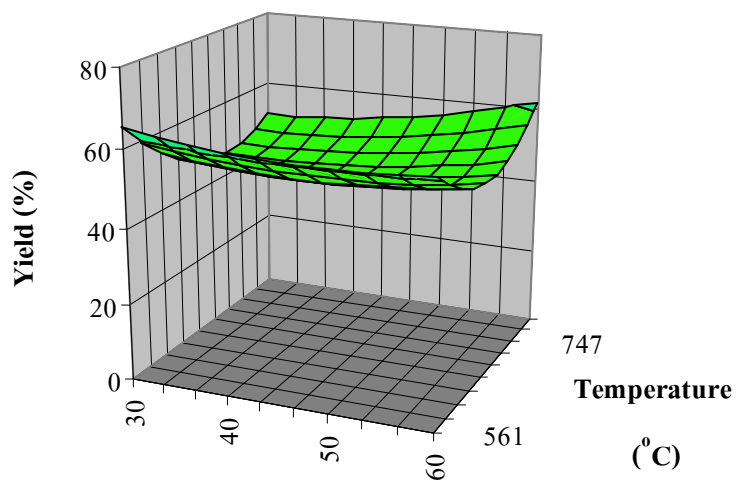
จากสมการที่ 20 แสดงให้เห็นถึงตัวแปรที่มีผลต่อค่าร้อยละผลได้ของถ่านกัมมันต์ ซึ่งเมื่อพิจารณาค่า P value ที่ได้จากแบบจำลองในแต่ละเทอม เทอมที่มีผลต่อค่าร้อยละผลได้ของถ่านกัมมันต์มากที่สุดคือ อุณหภูมิในการเผา ซึ่งมี P value = 5.47×10^{-4} โดยแบบจำลองที่ได้มีค่า R^2 และ R^2 adjusted เท่ากับ 0.889 และ 0.761 ตามลำดับ จากข้อมูลของแบบจำลองสามารถแสดงความสัมพันธ์ของตัวแปรต่างๆกับค่าร้อยละผลได้ของถ่านกัมมันต์ ในรูปของกราฟพื้นผิวดังภาพประกอบที่ 60 ถึง 62



Activation time

(min.)

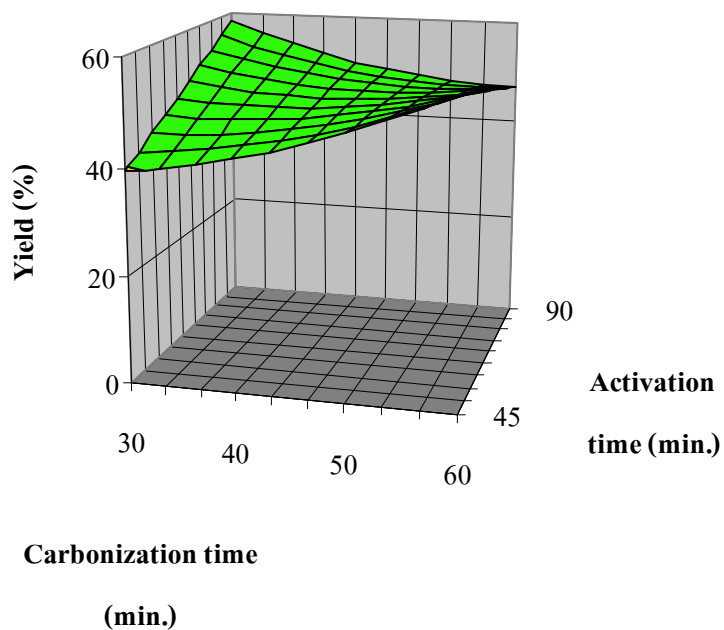
ภาพประกอบที่ 60 กราฟพื้นผิวแสดงความสัมพันธ์ระหว่างเวลาในการเผา และอุณหภูมิในการเผา ที่มีผลต่อร้อยละผลได้ของถ่านกัมมันต์



Carbonization time

(min.)

ภาพประกอบที่ 61 กราฟพื้นผิวแสดงความสัมพันธ์ระหว่างเวลาคาร์บอนไนซ์ และอุณหภูมิในการเผาที่มีผลต่อร้อยละผลได้ของถ่านกัมมันต์



ภาพประกอบที่ 62 กราฟพื้นผิวแสดงความสัมพันธ์ระหว่างเวลาในการคาร์บอนไนซ์ และเวลาในการเผา ที่มีผลต่อร้อยละผลได้ของถ่านกัมมันต์

เมื่อคำนวณค่าร้อยละผลได้ของถ่านกัมมันต์ที่ได้จากการกระตุ้นด้วยไอน้ำจากแบบจำลองในสมการที่ 20 เปรียบเทียบกับข้อมูลที่ได้จากการทดลอง พบว่าค่าร้อยละผลได้ส่วนใหญ่ใกล้เคียงกัน แสดงดังตารางที่ 19

ตารางที่ 19 แสดงค่าร้อยละผลได้ของถ่านกัมมันต์ที่ได้จากการทดลองโดยการกระตุ้นด้วยไอน้ำ
เปรียบเทียบกับค่าที่ได้จากการคำนวณโดยใช้แบบจำลอง

สถานะที่	ร้อยละผลได้ที่ได้จากการทดลอง	ร้อยละผลได้ที่ได้จากแบบจำลอง
1	44.88	47.45
2	47.03	45.33
3	54.06	51.59
4	53.67	52.73
5	50.86	47.60
6	62.98	62.40
7	63.28	62.08
8	47.97	49.47
9	47.18	47.45
10	62.49	54.53
11	49.59	51.15
12	64.62	65.13
13	59.33	56.22
14	48.91	47.45
15	56.16	51.62
16	49.55	47.45
17	48.51	48.86
18	49.75	52.49

สถานะการดำเนินการที่เหมาะสมที่คำนวณจากสมการที่ 20 พบว่าสถานะที่เหมาะสม
ซึ่งให้ค่าร้อยละผลได้สูงสุดเท่ากับ 83.14 คือเวลาในการคาร์บอนไนซ์ 30 นาที อุณหภูมิในการเผาที่ 500
องศาเซลเซียส เวลา 45 นาที

4.10 การคำนวณค่าใช้จ่ายในการผลิตถ่านกัมมันต์

ในการคำนวณค่าใช้จ่ายในการผลิตถ่านกัมมันต์นั้นจะคิดค่าใช้จ่ายเป็น 2 ส่วนด้วยกัน คือ ค่าสารเคมีและค่าไฟฟ้า โดยวิธีการคำนวณแสดงในภาคผนวก จ

ตารางที่ 20 แสดงค่าใช้จ่ายในการผลิตถ่านกัมมันต์ที่กระตุ้นด้วยกรดฟอสฟอริกและไอน้ำ

วิธีการผลิตถ่านกัมมันต์	คุณสมบัติ			
	พลังงาน (kW/hr.)	ค่าสารเคมี (Baht/g)	ค่าไฟฟ้า (Baht/g)	รวม (Baht/g)
กระตุ้นด้วยกรดฟอสฟอริก	1.0254	3.271	0.586	3.857
กระตุ้นด้วยไอน้ำ	1.1859	-	1.3191	1.3191

จากตารางที่ 20 แสดงค่าใช้จ่ายในการผลิตถ่านกัมมันต์แต่ละประเภท พบว่า ถ่านกัมมันต์ที่ได้จากการกระตุ้นด้วยกรดฟอสฟอริก มีค่าใช้จ่ายสูงกว่าถ่านกัมมันต์ที่ได้จากการกระตุ้นด้วยไอน้ำ คือมีค่าเท่ากับ 3.857 บาทต่อกรัม ถึงแม้ถ่านกัมมันต์ที่กระตุ้นด้วยกรดฟอสฟอริกจะมีค่าใช้จ่ายที่สูงกว่า แต่ถ่านกัมมันต์ที่กระตุ้นด้วยกรดฟอสฟอริกสามารถให้พื้นที่ผิวที่สูงกว่าถ่านกัมมันต์ที่ได้จากการกระตุ้นด้วยไอน้ำ ซึ่งพื้นที่ผิวเป็นคุณสมบัติที่สำคัญในการเลือกถ่านกัมมันต์ไปใช้งาน และเมื่อเปรียบเทียบในด้านของพลังงานแล้วพลังงานที่ใช้ในการกระตุ้นด้วยไอน้ำจะสูงกว่าที่กระตุ้นด้วยกรดเล็กน้อย ดังนั้นการเลือกผลิตถ่านกัมมันต์จึงขึ้นอยู่กับความต้องการในการนำถ่านกัมมันต์ไปใช้งาน โดยการเปรียบเทียบคุณสมบัติของถ่านกัมมันต์ที่ได้จากการกระตุ้นด้วยกรดฟอสฟอริกและไอน้ำแสดงดังตารางที่ 21

ตารางที่ 21 เปรียบเทียบคุณสมบัติของถ่านกัมมันต์จากการผลิตทั้ง 2 วิธี

วิธีการผลิต ถ่านกัมมันต์	คุณสมบัติ						
	พื้นที่ผิว (m ² /g)	ค่าการดูด ซับ ไอโอดีน (mg/g)	ร้อยละ ผลได้	pH	ความ หนาแน่น ปรากฏ (g/cm ³)	ค่าใช้จ่าย (Baht/g)	พลังงาน (kW/hr.)
กระตุ้นด้วยกรด ฟอสฟอริก	1331.82	580.32	52.29	3.5	0.28453	3.857	1.0254
กระตุ้นด้วยไอน้ำ	978.03	645.73	44.88	7.1	0.42226	1.3191	1.1859